

# ZADÁNÍ DIPLOMOVÉ PRÁCE

(PROJEKTU, UMIKOVÉHO DÍLA, UMEZCENÉHO VÝKONU)

pro Tomáše Wollmanna

obor 23-40-8 ASR výrobních procesů ve strojírenství

Vedoucí katedry Vám ve smyslu nařízení vlády ČSSR č. 90/1980 Sb., o státních závěrečných zkouškách a státních rigorózních zkouškách, určuje tuto diplomovou práci:

Název tématu: Adaptivní regulační obvod pracující na principu hyperstability (Ověření vlastnosti na samočinném počítači)

## Zásady pro vypracování:

- 1) Prostudujte princip hyperstability v aplikacích na diskrétní regulační obvody
- 2) Prostudujte návrh adaptivních regulačních obvodů na principu hyperstability
- 3) Vypracujte program pro syntézu adaptivního regulačního obvodu včetně simulace činnosti
- 4) Na zvolených příkladech provedte ověřovací výpočty na počítači

U 43/89 S

VYŠKÁ ŠKOLA STROJNÍ A TEXTILNÍ  
Ústřední knihovna  
LHOBEC 1, STUDENTSKÁ 8  
PSČ 461 17

Obrázek regulačního obvodu

AER-S/PVK

Lee, R. L.: Adaptive Control. The Model Reference Approach.  
Marcel Dekker, Inc., New York, Basel 1979

Šimůnek, O.: Vybrané algoritmy adaptivního řízení. Výzkumná  
práce KTK-0060. Liberec VŠST 1979

zásadnou mimořádnou práce: Doc. Ing. Oswald Madrlák, CSc.

datum zadání diplomové práce: 3.10.1988

datum odevzdání diplomové práce: 2.6.1989



doc. Ing. Vladimír Věchet, CSc.

Vedoucí katedry

Prof. Ing. Vladimír Prášil, DrSc.

Děkan

v Liberci dne 23.9. 88  
19

Vysoká škola strojní a textilní v Liberci.

nositelka řádu práce

Fakulta strojní

Ober 23 - 40 - 8

automatizované systémy řízení

výrobních procesů ve strojírenství

katedra technické kybernetiky

Adaptivní regulační obvod pracující

na principu hyperstability

Tomas Wollmann

Vedoucí práce: Doc. Ing. Osvald Modrlák, CSc., KTK VŠST

KTK ASR SF - 197

Rozsah práce a příloh

Počet stran : 51

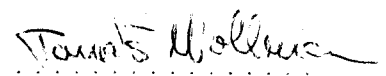
Počet příloh : 17

Počet tabulek : 3

Počet obrázků : 6

Mistopřísežně prohlašuji, že jsem diplomovou práci  
vypracoval sám s použitím uvedené literatury.

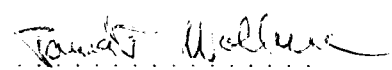
V Liberci dne 29. května 1989



Tomáš Wollmann

Chtěl bych na tomto místě poděkovat Doc.ing. Osvaldu  
Modrlákovi, CSc. za odbornou pomoc a metodické vedení  
při vypracování mé diplomové práce.

V Liberci dne 29. května 1989



Tomáš Wollmann

## OBSAH

1.	Úvod .....	5
2.	Adaptivní řídící systémy s referenčním modelem ..	7
3.	Základy teorie hyperstability .....	10
3.1.	Základní pojmy .....	10
3.2.	Teoretické závěry .....	13
4.	Syntéza adaptivního systému řízení s referenčním modelem .....	16
4.1.	Soustava popsaná diferenční rovnici .....	16
4.2.	Diskrétní adaptivní systém s referenčním modelem popsaný rovnicemi ve stavovém prostoru .....	22
4.3.	Závěrečné poznámky .....	24
5.	AMFC řídící systémy .....	25
5.1.	Problém nalezení PMFC systému .....	26
5.2.	AMFC systémy popsané stavovými rovnicemi .....	30
5.2.1.	Paralelní AMFC systém - spojitý případ .....	32
5.2.2.	Poznámky .....	37
5.3.	Diskrétní AMFC systém .....	38
5.4.	Závěrečné poznámky .....	40
6.	Experimentální část .....	42
6.1.	Algoritmus adaptace pro MRAS. Parametrické nastavení .....	42
6.2.	Algoritmus adaptace pro AMFC systémy. Signální nastavení .....	46
7.	Závěr .....	49
	Literatura .....	50
	Seznam příloh .....	51

## 1. Úvod

Vzhledem ke stále rostoucím požadavkům na kvalitu řízení regulovaných soustav je nutno získávat stále větší množství informací o dynamice chování systému, vstupujících poruchách, změnách parametrů soustav. Proti tomu na druhou stranu zase působí složitost a rozsáhlost technologických procesů a technických zařízení, časová závislost pracovních podmínek.

Bylo proto zcela přirozené, že se hledaly cesty jak zajistit, aby systémy řízení samy se dokázaly přizpůsobit měnícím se dynamickým vlastnostem, pracovním podmínkám nebo dokonce zcela neznámým situacím.

U živých organismů je toto jediná cesta jak přežít v nepříznivých nebo změněných podmínkách - to znamená :  
a d a p t o v a t s e a na základu zkušenosti stejnou situaci zvládnout přiště lépe tj. u ě i t s e.

Podobně i u neživých řidicích systémů používáme stejné pojmy : adaptivní, adaptace, učení se - i když tady je jejich podstata mechanická. Tyto způsoby řízení pak nazýváme jako tzv. vyšší způsoby řízení. Jejich uplatnění, vedle klasické analogové nebo impulsní P I D regulace, nám dovoluje současná úroveň řidicích prostředků, zejména však v diskrétní verzi rozvoj řidicích počítačů a mikropočítačů.

Dnes existuje celá řada dobře propracovaných adaptivních mechanismů, jejichž použití samozřejmě závisí hlavně na požadavcích uživatele a technických prostředcích. Uvedeme pouze ty základní :

1. systémy s referenčním modelem,
2. systémy pracující na duálním principu,
3. systémy s nepřímými metodami.

Možné způsoby řízení pak jsou:

1. změnou nastavitelných parametrů systému,
2. generováním vhodného vstupního signálu,
3. změnou struktury systému.

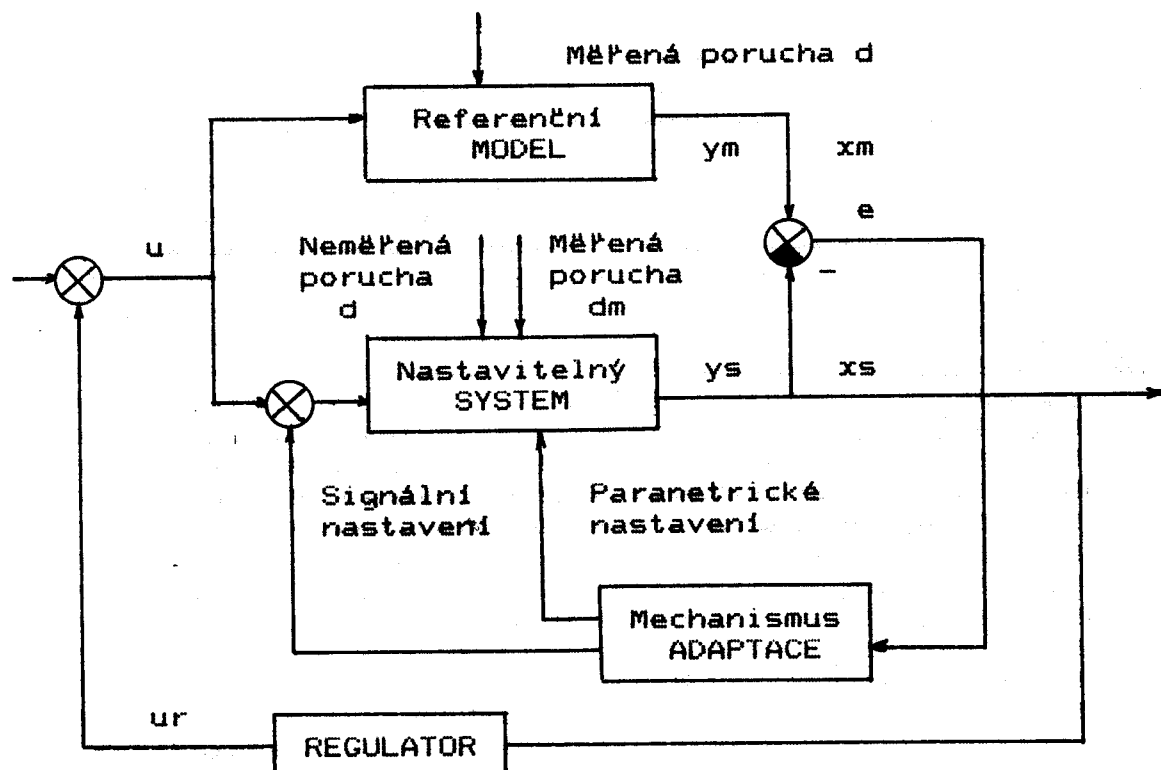
To platí samozřejmě jak pro spojité tak i diskrétní verzi adaptivního řízení /1/, /5/ .

Nadále se budeme zabývat pouze systémy s referenčním modelem.

## 2. Adaptivní řidící systémy s referenčním modelem

Adaptivní systémy s referenčním modelem ( Model Reference Adaptive Systems - M R A S ) byly poprvé představeny v roce 1958, dnes patří k velmi rozšířeným a dobře propracovaným metodám adaptivního řízení.

Princip je zřejmý z následujícího zapojení :



Obr. 2.- 1

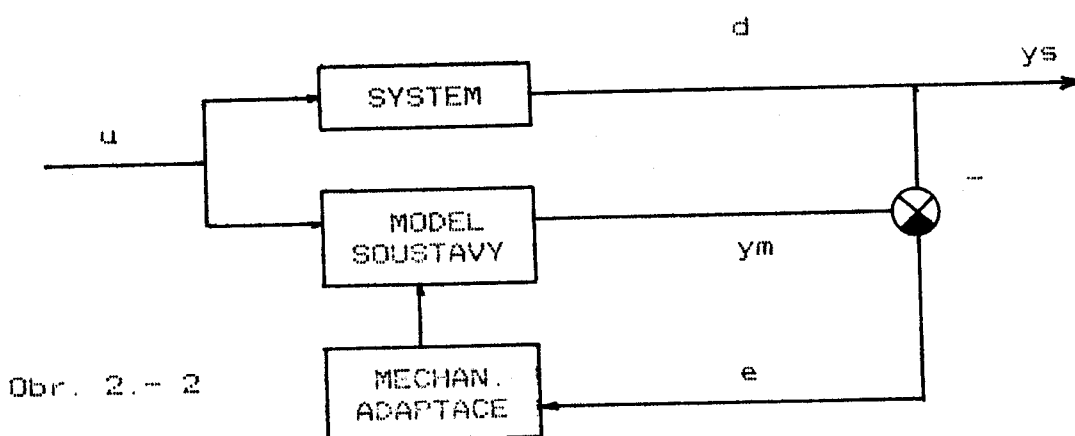
Výstupem referenčního modelu je žádaná odezva  $y_m$ , eventuálně žádaný vektor stavu  $x_m$  na vstupní signál  $u$ . Tento výstup se porovnává s výstupem nastavitelného systému  $y_s$  nebo  $x_s$  a výsledkem je adaptativní odchylka  $\epsilon$  nebo  $e$ . Tato odchylka představuje ztrátu a cílem adaptace je tedy tuto odchylku podle zvoleného kriteria minimalizovat resp. úplně odstranit.

Pro minimalizaci lze vhodně přestavovat seřiditelné parametry systému ( mohou to být např. nastavitelné parametry regulátoru, který spolu s regulovanou soustavou tvorí

nastavitelný systém), potom mluvime o adaptaci s parametrickým nastavením nebo se v mechanismu adaptace generuje přidavný vstupní signál a potom se jedná o adaptaci se signálním nastavením. Je samozřejmě možno použít nastavení kombinované se současným přestavováním parametrů a zaváděním vstupního signálu.

Výhodou tohoto zapojení je relativně rychlá adaptace díky měření výstupu systému a referenčního modelu, vytváření adaptativní odchylky a jejímu zpracování dle daného kriteria. Naproti tomu nevýhodou je nutnost velké apriorní znalosti o systému, modelu a struktuře k jeho realizaci. I proto adaptivní systémy s referenčním modelem využívají pro řízení jen omezené třídy úloh.

Významný je také duální charakter tohoto adaptivního schématu, to znamená, že ho lze použít jak pro řízení tak i pro identifikaci:



Potom identifikovaná soustava je referenčním modelem a nastavitelný systém představuje model soustavy se zvolenou strukturou. Adaptace provádí nastavení parametrů tak, aby adaptativní odchylka byla minimalizována daným kriteriem.

Pro nás je však z hlediska řízení významné, že adaptace s referenčním modelem dokáže zajistit konstantní dynamické vlastnosti regulované soustavy i s měnícimi se parametry.

try systému.

Tuto část, která provádí adaptaci, nazýváme vnitřní - adaptivní - smyčkou adaptivního regulačního obvodu. Do vnější smyčky pak zapojujeme regulátor, který lze seřidit již podle běžných kriterií kvality řízení vzhledem k dynamickým vlastnostem referenčního modelu.

Základní problém při návrhu adaptivních systémů řízení s referenčním modelem je navrhnout takový algoritmus adaptace, aby byla zachována stabilita celého zapojení.

Podle návrhu adaptace rozlišujeme dva základní případy :

1. Parametry soustavy nejsou známy, ale všechny stavové veličiny jsou dostupné měřením, nebo je lze získat vhodným technickým zařízením (např. měřením nebo vytvářením derivaci výstupního signálu).
2. Parametry soustavy nejsou známy a lze měřit pouze vstup a výstup.

K zajištění stability celého systému lze použít různá kriteria - nejčastěji přímé Ljapunovovy metody. V této práci bylo využito vlastnosti hyperstability. Z podmínek pro stabilitu se potom odvozují algoritmy adaptace a to jak pro spojité tak i pro diskrétní systémy.

### 3. Základy teorie hyperstability

Pojem "hyperstabilita" poprvé uvedl V. M. Popov v roce 1960 v [6,7] při charakterizování obecných vlastností třídy zpětnovazebních systémů, z kterých lze také jako ve zvláštním případě odvodit jeho významné 'frekvenční kriterium stability'. V počátku byla hyperstabilita studována v souvislosti se spojitými systémy, ale zcela přirozeně byly tyto problémy rozšířeny i na diskrétní případy.

V této kapitole se seznámíme se základními definicemi a vlastnostmi hyperstabilních systémů a na konec budou uvedeny Teoremy vhodné k syntéze adaptivních řídících systémů s referenčními modely.

#### 3.1. Základní pojmy

Uvažujme diskrétní systém "H" popsáný rovnicemi :

$$x(k+1) = A(k) x(k) + B(k) u(k) \quad (3.1.-1)$$

$$y(k) = C(k) x(k) + D(k) u(k) \quad (3.1.-2)$$

kde  $x(k)$ ,  $y(k)$ ,  $u(k)$  jsou obecné vektory a  $A(k)$ ,  $B(k)$ ,  $C(k)$  jsou matice odpovídajících rozměrů :

$x$  - vektor  $[n,1]$  stavových veličin,

$u$  - vektor  $[q,1]$  vstupních veličin,

$A$  - matice  $[n,n]$  koeficientů soustavy,

$B$  - matice  $[n,q]$  buzení,

$y$  - vektor  $[r,1]$  výstupních veličin,

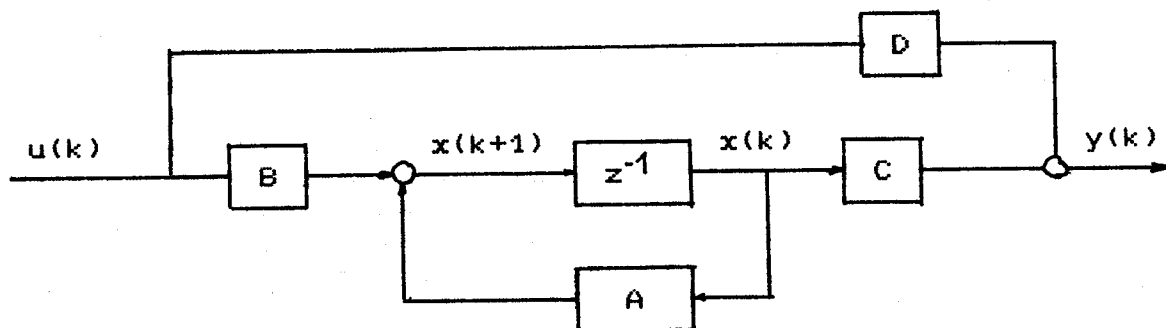
$C$  - matice  $[r,n]$  výstupu,

$D$  - matice  $[r,q]$  převodu = 0 ,

$n$  - řád soustavy.

Uvažujme také sumu součinu vektorů vstupu a výstupu:

$$\eta(K_0, K_1) = \sum_{K=K_0}^{K_1} u^T(K) y(K) \quad , \quad K_1 \geq K_0 \quad (3.1.-3)$$



Obr. 3.1.- 1

Definice I :

Systém "H" nazveme hyperstabilním pokud existují takové  $\beta_1 > 0$  a  $\beta_0 \geq 0$ , že :

$$\eta(K_0, K_1) + \beta_0 \|x(K_0)\|^2 \geq \beta_1 \|x(K_1+1)\|^2 \quad (3.1.-4)$$

pro všechna  $K_1 \geq K_0$  a všechny vektory  $u(k)$ ,  $x(k)$  splňující rovnici (3.1.-1).

Z této definice lze poukázat na fyzikální význam pojmu hyperstability. Nерovnice (3.1.-4) je zevšeobecněním podmínky pasivity soustavy. Vhodnou volbou stavového vektoru lze vyjádřit energii uchovanou v okamžiku ( $K_1 + 1$ ) jako :

$$\frac{1}{2} x^T(K_1+1) \cdot x(K_1+1) \quad \text{a stejně tak v počátku } (K_0) \text{ jako :}$$

$$\frac{1}{2} x^T(K_0) \cdot x(K_0)$$

Potom podmínu pasivity je možno formulovat takto :

V každém okamžiku ( $K+1$ ) musí být energie nahromaděná v soustavě menší nebo nanejvýš rovna součtu počáteční energie v okamžiku ( $K_0$ ) a energie dodané soustavě v časovém intervalu ( $K_0, K+1$ ).

Matematicky vyjádřeno :

$$\sum_{K=K_0}^{K_1} u^T(K) \cdot y(K) + \frac{1}{2} x^T(K_0) \cdot x(K_0) = \frac{1}{2} x^T(K_1+1) \cdot x(K_1+1)$$

Z toho je vidět, že se jedná o podmínu hyperstability podle Definice I., ve které :

$$\beta_1 = \beta_0 = 1/2 \quad \text{a} \quad \|x(K)\|^2 = x^T(K) \cdot x(K)$$

#### Definice II :

Pokud systém "H" je hyperstabilní, pak existují takové konečné konstanty  $\delta > 0$  a  $\gamma = 0$ , že pro posloupnosti vektorů  $u(k)$ ,  $x(k)$ ,  $y(k)$  splňujících rovnice (3.1.- 1, 2) a nerovnici :

$$\eta(K_0, K_1) = \sum_{K=K_0}^{K_1} u^T(K) y(K) = \gamma^2 + \gamma \cdot \sup_{K_0 \leq K \leq K_1} x(K) \quad (3.1.- 5)$$

platí:

$$\|x(K)\| = \delta(\gamma + \|x(K_0)\|), \quad \forall K_1 \geq K_0 \quad (3.1.- 6).$$

Důkaz těchto dvou definicí viz /4/.

Z předchozích definicí lze formulovat některé vlastnosti ( důkazy viz /4/ ) :

Vlastnost I : Hyperstabilita zahrnuje stabilitu ve velkém ( pro nulový vstup ).

Vlastnost II : Paralelní zapojení dvou hyperstabilních systémů je hyperstabilní.

Vlastnost III : Zpětnovazební zapojení dvou hyperstabilních systémů je hyperstabilní.

#### Definice III :

Systém je asymptoticky hyperstabilní je-li :

i) hyperstabilní,

ii) pro nulový vstup asymptoticky stabilní ve velkém.

Uvažujme nyní nový systém "H" popsány vstupně - výstupní relací v následující formě :

$$y = \sum_{k=1}^{\infty} (1, k) u(1) = f(u(1), k), \quad 1 \leq k \quad (3.1.- 8)$$

#### Definice IV :

Systém "H" popsány rovnici (3.1.- 8) je slabě hyperstabilní pokud pro všechny dvojice  $(u(k), y(k))$  splňující rovnici (3.1.- 3) existují takové konečné konstanty  $\lambda_0^2 \geq 0$ , že je splněna nerovnice :

$$\eta(K_0, K_1) = \sum_{K=K_0}^{K_1} u^T(K) \cdot y(K) = -\lambda_0^2, \quad K_1 \geq K_0 \quad (3.1.- 9).$$

### 3.2 Teoretické závěry :

V této části budou předvedeny některé výsledky teorie hyperstability, které mají přímou aplikaci v diskrétních řídících systémech. Pro mnoho praktických příkladů je zajímavé studovat vlastnosti paralelních a zpětnovazebních zapojení mezi hyperstabilními a slabě hyperstabilními systémy.

#### Lemma I :

Zpětnovazební zapojení hyperstabilního systému se systémem slabě hyperstabilním je hyperstabilní.

(Důkaz viz /4/).

Uvažujme lineární časově neproměný diskrétní systém popsany rovnicemi :

$$x(k+1) = A x(k) + B u(k) \quad (3.2.-1)$$

$$y(k) = C x(k) \quad (3.2.-2)$$

kde  $x(k)$ ,  $u(k)$ ,  $y(k)$  jsou vektory a  $A$ ,  $B$ ,  $C$  jsou matice odpovídajících rozměrů; dvojice  $(A, B)$  je úplně říditelná a dvojice  $(C, A)$  je úplně pozorovatelná.

Definujme diskrétní přenosovou matici :

$$G(z) = C \cdot (zI - A)^{-1} \cdot B \quad (3.2.-3)$$

#### Lemma II :

Systém popsany rovnicemi (3.2.-1) a (3.2.-2) je hyperstabilní právě tehdy, když diskrétní přenosová matice  $G(z)$  definovaná rovnicí (3.2.-3) je pozitivní reálná ve smyslu, že :

1. Póly matice  $G(z)$  leží uvnitř jednotkové kružnice  $|z| \leq 1$  a póly na  $|z| = 1$  jsou prosté, takže součet residui matice je non-negativní Hermitova matice.
2.  $H(z) = G(z) + G^T(z^*)$  je non-negativní Hermitova matice pro každé  $|z| = 1$ .

Při návrhu adaptivního regulačního obvodu s referenčním modelem budeme muset řešit problémy v souvislosti s časově proměnnými systémy. Uvedeme proto nyní teorém týkající se asymptotické hyperstability viceproměnných, diskrétních, časově proměnných, nelineárních zpětnovazebních systémů.

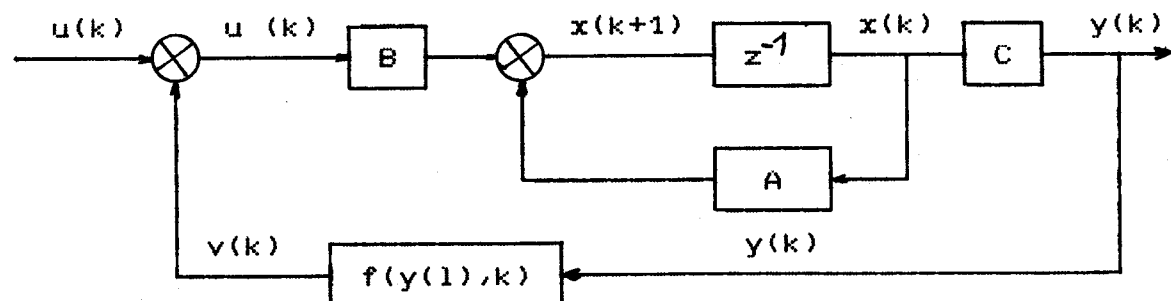
Uvažujme následující systém :

$$x(k+1) = A x(k) + B \cdot u^1(k) \quad (3.2.-4)$$

$$y(k) = C x(k) \quad (3.2.-5)$$

$$u^1(k) = u(k) - v(k) \quad (3.2.-6)$$

$$v(k) = f(y(1), k), \quad 1 \leq k \quad (3.2.-7)$$



Obr. 3.2.- 1

kde  $x(k)$ ,  $u(k)$ ,  $v(k)$ ,  $u^1(k)$ ,  $y(k)$  jsou vektory ( stejných rozměrů ) a  $A$ ,  $B$ ,  $C$  jsou matice odpovídajících rozměrů. Líneárni část je popsána rovnicemi (3.2.-4), (3.2.-5), je úplně pozorovatelná a úplně řiditelná a charakterizována diskrétní přenosovou maticí  $G(z)$  definovanou rovnicí (3.2.-3). Funkcionál  $f(y(1), k)$  označuje nelineární závislost mezi  $v(k)$  a hodnotami  $y(1)$  vzorkovaných v okamžicích  $1 \leq k$  a splňujících následující nerovnici :

$$\sum_{K=K_0}^{K_1} y^T(k) \cdot v(k) = -\lambda_0^2, \quad \forall K_0 \geq K_0 \quad (3.2.-8).$$

Je vidět, že nelineární časově proměnná část je slabě hyperstabilní ( viz Definice IV. ).

Teorem I :

Nutná a postačující podmínka, abychom diskrétní, Ča-  
sově proměnný systém popsáný rovnicemi (3.2.-4) až (3.2.-7)  
a nerovnicí (3.2.-8) označili jako asymptoticky hyperstabil-  
ní systém je, aby přenosová matice  $G(z)$  byla přísně pozitiv-  
ní reálná ( strictly positive real ) ve smyslu, že :

1. Póly matice  $G(z)$  leží uvnitř jednotkové kružnice

$$|z| < 1$$

2.  $H(z) = G(z) + G^T(z^*)$  je pozitivně definitní He-  
mitova matice.

Důkaz viz /4/.

## 4. Syntéza adaptivního systému řízení s referenčním modelem

### 4.1. Soustava popsaná diferenciální rovnicí

Uvažujme diskrétní paralelní adaptivní řídící systém s referenčním modelem popsáný rovnicemi :

Referenční model :

$$y_m(k) = \sum_{i=1}^n a_i y_m(k-i) + \sum_{i=0}^m b_i u(k-i) = \\ = p^T x(k-1) \quad (4.1.-1)$$

$$\text{kde } p^T = [a_1, \dots, a_n, b_0, \dots, b_m] \quad (4.1.-2)$$

$$x^T(k-1) = [y_m(k-1), \dots, y_m(k-n), u(k), \dots, u(k-m)] \quad (4.1.-3)$$

$p^T$  je vektor parametrů,  $y_m(k)$  je výstup modelu v okamžiku  $k$ , a  $u(k)$  je vstup modelu v okamžiku  $k$ .

Nastavitelný systém :

$$y_s(k) = \sum_{i=1}^n \hat{a}_i(k) y_s(k-i) + \sum_{i=0}^m \hat{b}_i(k) u(k-i) = \\ = \hat{p}^T(k) \cdot y(k-1) = [\hat{p}^1(k) + \hat{p}^P(k)]^T y(k-1) \quad (4.1.-4)$$

$$y_s^o(k) = [\hat{p}^1(k-1)]^T y(k-1) \quad (4.1.-5)$$

$$\text{kde } \hat{p}^T(k) = [\hat{a}_1(k), \dots, \hat{a}_n(k), \hat{b}_0(k), \dots, \hat{b}_m(k)] \quad (4.1.-6)$$

$$y^T(k-1) = [y_s(k-1), \dots, y_s(k-n), u(k), \dots, u(k-m)] \quad (4.1.-7)$$

a  $y_s^o(k)$  a  $y_s(k)$  jsou apriorní a aposteriorní výstupy tj. před a po adaptaci nastavitelného systému v okamžiku  $k$ .

Obecná chyba pak :

$$\text{apriori : } e^o(k) = y_m(k) - y_s^o(k) \quad (4.1.-8)$$

$$\text{aposteriori : } e(k) = y_m(k) - y_s(k) \quad (4.1.-9)$$

Mechanismus adaptace obsahuje lineární kompenzátor, generující signál  $v(k)$  :

$$\text{apriori : } v^o(k) = e^o(k) + \sum_{i=1}^n d_i e(k-i) \quad (4.1.-10)$$

$$\text{aposteriori : } v(k) = e(k) + \sum_{i=1}^n d_i e(k-i) \quad (4.1.-11)$$

$$\hat{p}(k) = \hat{p}^1(k) + \hat{p}^P(k) \quad (4.1.-12)$$

$$\hat{p}^1(k) = \hat{p}^1(k-1) + \phi_1(v^0(k)) = \sum_{l=0}^k \phi_1(v^0(l)) + \hat{p}^1(-1) \quad (4.1.-13)$$

$$\hat{p}^P(k) = \phi_2(v^0(k)) \quad (4.1.-14)$$

Rovnice (4.1.-10) – (4.1.14) představují obecný algoritmus adaptace s parametrickým nastavením,  $\hat{p}^1(k)$  odpovídá té části algoritmu, která poskytuje pamět adaptatního mechanismu a  $\hat{p}^P(k)$  je přechodný člen, který pomine ve chvíli, kdy  $v^0(k) = 0$ :

$$[\lim_{k \rightarrow \infty} v(k) = 0 \text{ obsahuje v sobě, že } \lim_{k \rightarrow \infty} \hat{p}(k) = \lim_{k \rightarrow \infty} \hat{p}^1(k)]$$

Nyní bude předvedena technika návrhu adaptivního řídicího systému s referenčním modelem. Princip spočívá v tom, převést původní systém na tzv. systém ekvivalentní, popsáný dynamikou obecné chyby a na tento potom aplikovat kriterium pro zajištění stability celého systému, v našem případě použít teorie hyperstability.

Z rovnic (4.1.-1), (4.1.-4), (4.1.-9) a (4.1.-11) lze získat následující vztah:

$$e(k+1) = a^T e_k + w_1(k+1) \quad (4.1.-15)$$

a

$$v(k+1) = e(k+1) + d^T e_k \quad (4.1.-16)$$

kde

$$w(k+1) = -w_1(k+1) = [p - \hat{p}(k+1)]^T y(k) \quad (4.1.-17)$$

$$a^T = [a_1, \dots, a_n] \quad (4.1.-18)$$

$$e_k^T = [e(k), \dots, e(k-n+1)] \quad (4.1.-19)$$

$$d^T = [d_1, \dots, d_n] \quad (4.1.-20)$$

Rovnice (4.1.-15) a (4.1.16) nyní definují lineární, časově neproměnný přímovazební blok charakterizovaný pěno-

sovou diskrétní funkci :

$$h(z) = \frac{1 + \sum_{i=1}^n d_i z^{-i}}{1 - \sum_{i=1}^n a_i z^{-i}} \quad (4.1.-21)$$

a rovnice (4.1.-17) definuje zpětnovazební nelineární časově proměnný blok.

Abychom na tento ekvivalentní systém mohli aplikovat Teorem I. ( viz kapitola 3.2. ) musí být splněna jistá podmínka pro jakékoli posloupnosti vektorů vstupních a výstupních. Jedná se o podmínu slabé hyperstability nelineární části ekvivalentního systému :

$$\sum_{k=0}^{k_1} w(k+1)^T \cdot v(k+1) = -\lambda_0^2 \quad k_1 \geq 0 \quad (4.1.-22)$$

Nalezení řešení této nerovnice je poměrně složitým problémem. Lze k tomu využít například Lemma B.5 v dodatku /4/. Její výsledek se objeví v algoritmu adaptace jako jedna z podmínek.

Protože tedy můžeme říci, že zpětnovazební blok ekvivalentního systému splňuje podmínu (4.1.-22) pro možnost použití Teoremu I. o hyperstabilitě systému, lze uzavřít, že ekvivalentní systém popsany rovnicemi (4.1.-15) – (4.1.-17) bude asymptoticky hyperstabilní právě tehdy, když přenosová funkce definovaná rovnicí (4.1.-22) bude přísně pozitivní reálná – strictly positive real.

Lze dokázat, že pokud ekvivalentní systém je asymptoticky hyperstabilní, originální systém bude asymptoticky stabilní ve velkém je-li použit následující algoritmus adaptace.

Teorem II .

Paralelní adaptivní řídící systém s referenčním modelem popsáný rovnicemi (4.1.-1) – (4.1.-14) je asymptoticky stabilní ve velkém je-li použit následující adaptační algoritmus :

$$1. \hat{P}(k) = \hat{P}^I(k) + \hat{P}^P(k) \quad (4.1.-23)$$

$$2. \hat{P}^I(k) = \hat{P}^I(k-1) + \frac{G^T y(k-1)}{1 + y^T(k-1)(G + G^T(k-1))y(k-1)} v^0(k) \quad (4.1.-24)$$

$$3. \hat{P}^P(k) = \frac{G^T(k-1) \cdot y(k-1)}{1 + y^T(k-1)(G + G^T(k-1))y(k-1)} v^0(k) \quad (4.1.-25)$$

$$4. G^T(k) + \frac{1}{2}G \geq 0 , \text{ pro všechna } k \quad (4.1.-26)$$

$$5. v^0(k) = y_m(k) - [\hat{P}^I(k-1)]^T y(k-1) + \sum_{i=1}^n d_i e(k-i) \quad (4.1.-27)$$

kde  $G$  je libovolná pozitivně definitní matice,  $G^T(k)$  je konstantní nebo časově proměnná matice splňující podmínu (4.1.-26) a  $d_1, \dots, d_n$  jsou vybrány tak, že :

$$6. h(z) = \frac{1 + \sum_{i=1}^n d_i z^{-i}}{1 - \sum_{i=1}^n a_i z^{-i}} \quad (4.1.-28)$$

je přísně pozitivní reálná, diskrétní přenosová funkce.

Pokud

$$G^T(k) = G^T \neq 0 \quad (4.1.-29)$$

(kde  $G^T$  je konstantní matice) adaptační algoritmus je typu proporcionálně – integračního s konstantním adaptačním průběhem.

Pro

$$G'(k) = 0 \quad (4.1.-30)$$

jedná se o algoritmus integračního typu.

**Teorem II.** předpokládá volbu hodnot koeficientů  $d_i$ ;  $i = 1, 2, \dots, n$  tak, aby byla splněna podmínka (4.1.-28). Koeficienty jmenovatele diskrétní přenosové funkce (4.1.-28) charakterizují referenční model. V závislosti na jejich hodnotách lze ukázat, že přenosová funkce bude přísně pozitivní reálná pro  $d_i = 0$ ,  $i=1, 2, \dots, n$  jak je vidět například v [4]. Dále naznačime výpočet koeficientů  $d_i$  v obecném případu.

Explicitní výpočet koeficientů  $d_i$  je možno provést po vyjádření přenosové funkce  $h(z)$  charakterizující lineární část ekvivalentního systému ve stavovém prostoru a použitím Lemma B.4-2, Dodatek B (viz také Teorem B.4-1)/4/. Stavová realizace  $h(z)$  rovnice (4.1.-28) má tvar:

$$x(k+1) = A x(k) + b u(k) \quad (4.1.-31)$$

$$v(k) = (d + a)^T x(k) + u(k) \quad (4.1.-32)$$

kde

$$A = \begin{bmatrix} 0 & 1 & 0 & \dots & 0 \\ \vdots & \ddots & & & 0 \\ 0 & & & & 1 \\ a_n & a_{n-1} & & & a_1 \end{bmatrix}, \quad b = \begin{bmatrix} 0 \\ \vdots \\ 0 \\ 1 \end{bmatrix} \quad (4.1.-33)$$

$$d^T = [d_1, \dots, d_n]$$

$$a^T = [a_1, \dots, a_n]$$

Po aplikaci Lemma B.4-2 je nutno řešit Ljapunovovu rovnici

$$a^T P A - P = -Q, \quad Q > 0, \quad P = [P_{ij}]$$

$$P_{nn} a^T + [0, P_{n1}, \dots, P_{n,n-1}] = a^T + d^T$$

Z těchto rovnic lze získat :

$$d_i = (P_{nn} - 1) \cdot a_i + P_{n,n-i}, \quad i = 1, \dots, n-1$$

$$d_n = (P_{nn} - 1) \cdot a_n$$

Pokud  $P_{nn} = 1$ , pak

$$d_i = P_{n,n-i}, \quad i = 1, \dots, n-1$$

$$d_n = 0.$$

Podrobný rozbor viz /4/ .

V praktických příkladech lze učinit následující approximaci : systém popsaný rovnicemi (4.1.-31) a (4.1.-32) můžeme rozložit na dva paralelní bloky, jeden je popsán :

$$x(k+1) = A x(k) + b u(k) \quad (4.1.-34)$$

$$v_1(k) = (d + a)^T x(k) \quad (4.1.-35)$$

a je charakterizován přenosovou funkcí

$$h_1(z) = \frac{\sum_{i=1}^n (a_i + d_i)^T z^{-i}}{1 - \sum_{i=1}^n a_i z^{-i}} \quad (4.1.-36)$$

a druhá část je jednotková přenosová funkce. Součet obou přenosových funkcí bude přísně pozitivní reálný pokud pro jakékoli  $z$ , na  $|z| = 1$ ,  $|h_1(z)| < 1$ . Tyto poslední podmínky budou splněny jestliže

$$d_i = -a_i + q_i \quad (4.1.-37)$$

kde  $0 < q_i \ll 1$ .

V /4/ je dále rozebrána a vyřešena možnost výpočtu koeficientů  $d_i$  rekursivním způsobem bez jejich apriorní volby. Je zde uveden i adaptační algoritmus upravený pro takový případ.

Samozřejmě algoritmus uvedený v této práci není jediný. Obdobným způsobem je možné odvodit i adaptační algoritmus i pro serio - paralelní zapojení adaptivního řídícího

systému s referenčním modelem, na to však je zde málo prostoru. Tento i další možnosti jsou uvedeny v literatuře. My zde ještě uvedeme algoritmus pro realizaci zapojení ve stavovém prostoru.

#### 4.2 Diskrétní adaptivní systém s referenčním modelem popsáný rovnicemi ve stavovém prostoru

---

Uvažujme paralelní zapojení MRAS :

Referenční model :

$$x(k+1) = A_m x(k) + B_m u(k) \quad (4.2.-1)$$

Paralelní nastavitelný systém :

$$y^*(k+1) = A_s(k) y(k) + B_s(k) u(k) \quad (4.2.-2)$$

$$y(k+1) = A_s(k+1) y(k) + B_s(k+1) u(k) \quad (4.2.-3)$$

Obecná chyba :

$$e^0(k) = x(k) - y^0(k) \quad (4.2.-4)$$

$$e(k) = x(k) - y(k) \quad (4.2.-5)$$

Adaptační algoritmus :

$$v^0(k) = D e^0(k) \quad (4.2.-6)$$

$$v(k) = D e(k) \quad (4.2.-7)$$

$$A_s(k+1) = \sum_{l=0}^k \phi_1(v, k, l) + \phi_2(v, k) + A_s(0) \quad (4.2.-8)$$

$$B_s(k+1) = \sum_{l=0}^k \psi_1(v, k, l) + \psi_2(v, k) + B_s(0) \quad (4.2.-9)$$

kde  $x$  a  $y$  jsou stavové vektory ( $n$  - dimensionální),  $u$  je vstupní vektor ( $m$  - dimensionální),  $A_m$  a  $B_m$  jsou konstantní matice odpovídajících rozměrů a  $A_s(k+1)$  a  $B_s(k+1)$  jsou časově proměnné matice odpovídajících rozměrů,  $\phi_1(v, k, l)$  a  $\psi_1(v, k, l)$  jsou diskrétní maticové funkcionály  $v$ ,  $\phi_2(v, k)$  a  $\psi_2(v, k)$  jsou maticové funkce  $v$ ,  $y^0(k+1)$  je apriorní stavový vektor nastavitelného systému počítaný z hodnot nastavitelných parametrů v okamžiku  $k$ , a  $y(k+1)$  je aposteriorní

stavový vektor nastavitelného systému v okamžiku  $k+1$  tj. po adaptaci.

**Teorem 4.2.- 1.**

Diskrétní paralelní adaptivní systém s referenčním modelem popsáný rovnicemi (4.2.-1) – (4.2.-9) je asymptoticky stabilní ve velkém jestliže :

1.  $\phi_1(v, k, 1)$ ,  $\phi_2(v, k)$ ,  $\psi_1(v, k, 1)$ , a  $\psi_2(v, k)$  jsou dány

$$\phi_1(v, k, 1) = F_a(k-1) \cdot v(1+1) \cdot [G_a \cdot y(1)]^T, \quad 1 \leq k \quad (4.2.-10)$$

$$\phi_2(v, k) = F_a(k) \cdot v(k+1) \cdot [G_a(k) \cdot y(k)]^T \quad (4.2.-11)$$

$$\psi_1(v, k, 1) = F_b(k-1) \cdot v(1+1) \cdot [G_b \cdot u(1)]^T, \quad 1 \leq k \quad (4.2.-12)$$

$$\psi_2(v, k) = F_b(k) \cdot v(k+1) \cdot [G_b(k) \cdot u(k)]^T \quad (4.2.-13)$$

kde  $F_a(k-1)$  a  $F_b(k-1)$  jsou pozitivně definitní diskrétní funkce, jejichž  $z$  - transformace jsou pozitivně reálné přenosové matice s póly na  $|z|=1$ ,  $G_a$  a  $G_b$  jsou konstantní pozitivně definitní matice, a  $F_a(k)$ ,  $F_b(k)$ ,  $G_a(k)$  a  $G_b(k)$  jsou časově proměnné pozitivně definitní ( nebo semidefinitní ) matice pro všechna  $k \geq 0$ .

2. Přenosová funkce :

$$H(z) = Dz(zI - A_m)^{-1} = D + DAm(zI - A_m)^{-1} \quad (4.2.-14)$$

je přísně pozitivní reálná.

Pro splnění poslední podmínky lze zase využít Lemma B.4-2 v /4/. V téže literatuře jsou uvedeny i další možnosti aplikace a úprav uvedeného Teorému .

#### **4.3 Závěrečné poznámky**

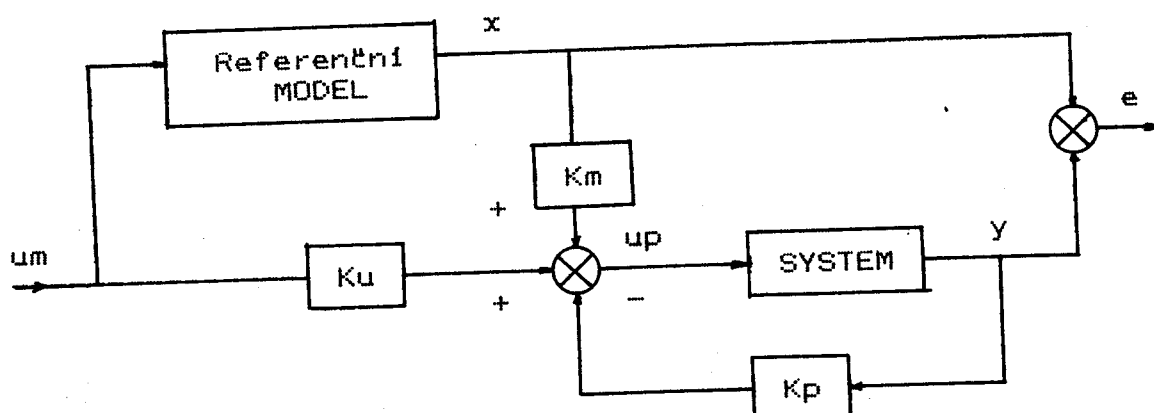
---

V této kapitole byla naznačena obecná metoda založená na použití hyperstability a její možná aplikace pro návrh diskrétního adaptivního systému s referenčním modelem.

1. Základ vychází ze spojitého případu a byl v některých krocích upraven pro použití na diskrétní případy.
2. Při návratu z ekvivalentního zpětnovazebního systému do originálního systému musíme překonat obtíže spojené s přítomností adaptačního zpoždění v diskrétní verzi (viz vztahy pro  $y^0(k)$ ,  $y(k)$ ,  $v^0(k)$ ,  $v(k)$  atd.).
3. Problém odstranění adaptačního zpoždění je řešen výběrem apriorních hodnot proměnných, které jsou závislé na nastavitelných parametrech a počítané nebo měřené v okamžiku  $k$ , ale závislé na nastavitelných parametrech v okamžiku  $k-1$ .
4. Další možnosti použití této metody návrhu řídicích systémů a včetně podrobných rozborů i příkladů /4/.

## 5. AMFC řidící systémy

Přímé použití teorie lineárního optimálního řízení je velmi často omezené díky obtížnému vyjádření při návrhu v nelineárních členech. Jednou z cest jak tyto obtíže překonat je použití tak zvaných řidicích systémů s lineárním modelem - linear model - following control ( LMFC ) systems. Tento typ řízení používá model, který je při návrhu přítomen pouze pro výpočet řidicího zákona - implicitní model nebo je reálnou částí systému - explicitní model :



Obr. 5.1

kde  $K_u$  je přímovazební blok,  $K_p$  je zpětnovazební blok systému,  $K_m$  je zpětnovazební blok modelu. V obou případech je účelem minimalizovat chybu mezi stavům nebo výstupy modelu a řízeného systému ( tzv. plant ). Poznamenejme ještě, že toto schema nepřekonává těžkosti spojené s nejistotou týkající se hodnot parametrů systému ( plantu ) a změn těchto parametrů během operace.

Pro případ LMFC systému, který používá explicitní model lze při adaptivním řízení využít tzv. adaptivní řidící systém se sledovaným modelem - adaptive model - following control ( AMFC ) system. AMFC systémy patří do třídy adaptivních systémů řízení s referenčním modelem a lze za jistých

podmínek pro ně použít metodu návrhu předvedenou v předešlající kapitole. K tomu jsou nutné dva přepoklady:

1. musíme vědět jaké vlastnosti návrhu LMFC systémů vedou k AMFC systémům
2. musíme vědět zda pro uvažované specifické aplikace existuje řešení pro návrh LMFC systémů.

Je vidět, že pouze LMFC systém s explicitním modelem může obsahovat jako část AMFC systémy se strukturou MRAS.

Problém návrhu LMFC systému lze formulovat i takto : K danému modelu a řízenému systému máme naleznout tři matice  $K_m$ ,  $K_u$ , a  $K_p$  tak aby pro nulové počáteční podmínky existoval tzv. dokonale sledovatelný model - perfect model following. Perfect model following lze například vyjádřit podmírkou, aby přenosové matice modelu a řízeného systému byly identické, nebo podmírkou, aby obecná chyba stavu nebo výstupu  $e = x - y$ , a její derivace byly nulové.

Protože v případu existence PMF je chyba  $e = 0$  a také je-li použit MRAS pak  $\lim_{t \rightarrow \infty} e = 0$ , lze na závěr říct, že návrh PMF můžeme efektivně využít při návrhu AMFC systémů.

Zabýváme se nyní otázkou existence PMF, a také jak lze modifikovat model, aby podmínky pro PMF byly splněny.

#### 5.1. Problém nalezení PMFC systému

Uvažujme LMFC systém ukázaném na Obr. 5.1. a popsáném následujicimi rovnicemi :

Referenční model :

$$\dot{x} = A_m \cdot x + B_m \cdot u_m \quad (5.1.-1)$$

Plant ( řízený systém ) :

$$\dot{y} = A_p \cdot y + B_p \cdot u_p \quad (5.1.-2)$$

Vstup řídící plant :

$$u_p = -K_p y + K_m x + K_u u_m \quad (5.1.-3)$$

kde  $x$  je stavový vektor modelu ( $n$  - dimensionální),  $y$  je stavový vektor plantu ( $n$  - dimensionální),  $u_m$  je vstupní vektor modelu ( $m$  - dimensionální),  $u_p$  je vstupní vektor plantu ( $m$  - dimensionální) a  $A_m$ ,  $B_m$ ,  $A_p$ ,  $B_p$ ,  $K_m$ ,  $K_p$  a  $K_u$  jsou konstantní matice odpovídajících rozměrů. Poznamenejme ještě, že dvojice  $(A_p, B_p)$ ,  $(A_m, B_m)$  jsou stabilní a navíc  $A_m$  je Hurwitzova matice - tzn., že referenční model je asymptoticky stabilní.

Obecná stavová chyba je definována jako :

$$e = x - y \quad (5.1.-4)$$

Jak bylo již uvedeno, lze podmínky pro PMFC systém získat více způsoby :

1. algebraické podmínky pro chybu  $e$ ,

2. algebraické podmínky pro náhradní systém se stavovým vektorem  $\hat{x}^T = [x^T, y^T]$ , vstupem  $u_m$ , a výstupem  $e$ ,

3. podmínky pro přenosové matice .

Dále budeme uvažovat první možnost - tj. algebraické podmínky pro obecnou chybu stavu  $e$ .

Odečtením rovnice (5.1.-2) od (5.1.-1) a také užitím (5.1.-3) získáme následující vztah :

$$\begin{aligned} \dot{e} &= (A_m - B_p K_m) e + [A_m - A_p + B_p (K_p - K_m)] y + \\ &+ (B_m - B_p K_u) u_m \end{aligned} \quad (5.1.-5)$$

Máme-li PMFC systém, potom pro jakékoli rozumné  $u_m$ , a  $e(0) = 0$  musíme mít  $e(t) = x - y = 0$ ,  $\dot{e}(t) = \dot{x} - \dot{y} = 0$ .

Jinými slovy :

$$[A_m - A_p + B_p (K_p - K_m)] y + (B_m - B_p K_u) u_m = 0 \quad (5.1.-6)$$

a

$$\dot{e} = (A_m - B_p K_m) e \quad (5.1.-7)$$

musí být asymptoticky stabilní tj.  $(A_m - B_p K_m)$  musí být Hurwitzova matice.

Aby rovnice (5.1.-6) byla splněna pro jakékoli  $y$  a  $u_m$  musí platit :

$$A_m - A_p + B_p (K_p - K_m) = 0 \quad (5.1.-8)$$

$$B_m - B_p K_u = 0 \quad (5.1.-9)$$

nebo

$$B_p (K_m - K_p) = A_m - A_p \quad (5.1.-10)$$

$$B_p K_u = B_m \quad (5.1.-11)$$

Podívejme se tedy, kdy existují řešení pro matice  $K_m$ ,  $K_u$ ,  $K_p$  vedoucí ke splnění rovnic (5.1.-10) a (5.1.-11). Tento problém není jednoduchý, uváděmeli si, že obecně matice  $B_p$  ve většině případech je nesingulární čtvercová matice. Uvedeme zde pouze výsledek řešení maticové rovnice  $M X = N$ .

PMF lze najít pokud :

$$\text{rank } B_p = \text{rank } [B_p, (A_m - A_p)] = \text{rank } [B_p, B_m]$$

$$(5.1.-12)$$

Nalézt řešení můžeme pomocí tzv. Penrosovy pseudo-  
- inverze matice  $B_p$ , označené  $B_p^+$ .

Pozn.:  $B_p^+ = (B_p^T B_p)^{-1} B_p^T$ . To je tzv. levá Penrosova pseudo - inverze (když  $m_1 < n$ ), která existuje pokud  $B_p^T B_p$  je nesingulární matice. Platí, že :  
 $B_p^+ B_p = I$ .

Mimo to existuje i pravá pseudo - inverze jestliže  $m_1 > n$ .

Pokud tedy  $B_p^+$  existuje potom z rovnic (5.1.-10), a (5.1.-11) vynásobením zleva dostaneme vztahy :

$$K_m - K_p = B_p^+ (A_m - A_p) \quad (5.1.-13)$$

$$K_u = B_p^+ B_m \quad (5.1.-14)$$

Dosazením výrazů pro  $K_m - K_p$  a  $K_u$  daných rovnicemi (5.1.-13) a (5.1.-14) do rovnic (5.1.-10) a (5.1.-11) získáme postačující podmínky existence řešení pro PMFC :

$$(I - B_p B_p^+) (A_m - A_p) = 0 \quad (5.1.-15)$$

$$(I - B_p B_p^+) B_m = 0 \quad (5.1.-16)$$

Podmínky (5.1.-15), (5.1.-16) se někdy také nazývají jako Erzbergerovy podmínky pro PMF. Pokud jsou tyto podmínky splněny, potom  $K_m - K_p$  a  $K_u$  mohou být počítány přímo užitím rovnic (5.1.-13) a (5.1.-14).

Všimněme si ještě, že v rovnici (5.1.-10)  $K_m$  a  $K_p$  mají stejný a opačný vliv. Nezáleží tedy na hodnotách  $K_m$  a  $K_p$  samostatně, ale pouze na jejich rozdílu. Z tohoto plynou některé aplikativní možnosti :

1. Zpětnovazební matici  $K_p$  je možno počítat bez ohledu na podmítku pro PMF rovnice (5.1.-10), například použitím optimálního lineárního řízení.

Ale je ovšem nutno zajistit její výsledek tak, aby matice  $K_m$  vedoucí ke splnění podmínky dané rovnici (5.1.-10) také zajistila, že  $(A_m - B_p K_m)$  bude Hurwitzova matice.

2. Jestliže některé stavy řízeného systému nejsou dosažitelné, potom i přesto lze vhodnou volbou matice  $K_m$  ještě získat PMF ( pokud ovšem jeho řešení existuje ). Je totiž možno chybějící stavy řízeného systému nahradit v řídícím zákonu stavy modelu.

3. Jestliže všechny stavy řízeného systému jsou dosažitelné a matice  $K_p$  není nijak určena předem, potom matice  $K_m$  není nutná.

Pokud  $B_p$  je nesingulární čtvercová matice, potom  $B_p^+ = B_p^{-1}$ , a rovnice (5.1.-15) a (5.1.-16) jsou vždy splněny. Jestliže je matice  $B_p$  singulární nebo rectangulární,  $B_p B_p^+ \neq I$  a proto ke splnění rovnic (5.1.-15) a (5.1.-16) matice  $I - B_p B_p^+$  musí být ortogonální vzhledem k  $B_m$  a k  $A_m - A_p$ .

Ještě poznamenejme, že pokud referenční model a řízený systém mají podobný Luenbergerův normální kanonický tvar řiditelnosti, potom Erzbergerovy podmínky (5.1.-15) a (5.1.-16) a také rank podmínka (5.1.-12) jsou vždy splněny.

Položme nyní otázku: Jak lze modifikovat daný model aby splňoval podmínky pro PMF? V současnosti zatím ještě neexistuje obecná metoda, jak toho dosáhnout. Základní uvažovanou myšlenkou je zvolit model a dát mu takovou strukturu pro kterou lze najít PMF a která dává dobrou approximaci skutečného modelu.

## 5.2. AMFC systémy popsané stavovými rovnicemi

Jak již bylo řešeno lze využít AMFC systémy v případech nejistoty nebo změn parametrů řízeného systému. Pokud existuje řešení pro PMF není nutná explicitní identifikace těchto parametrů a adaptační zákon má explicitní formu.

Existují dvě základní implementace AMFC systémů:

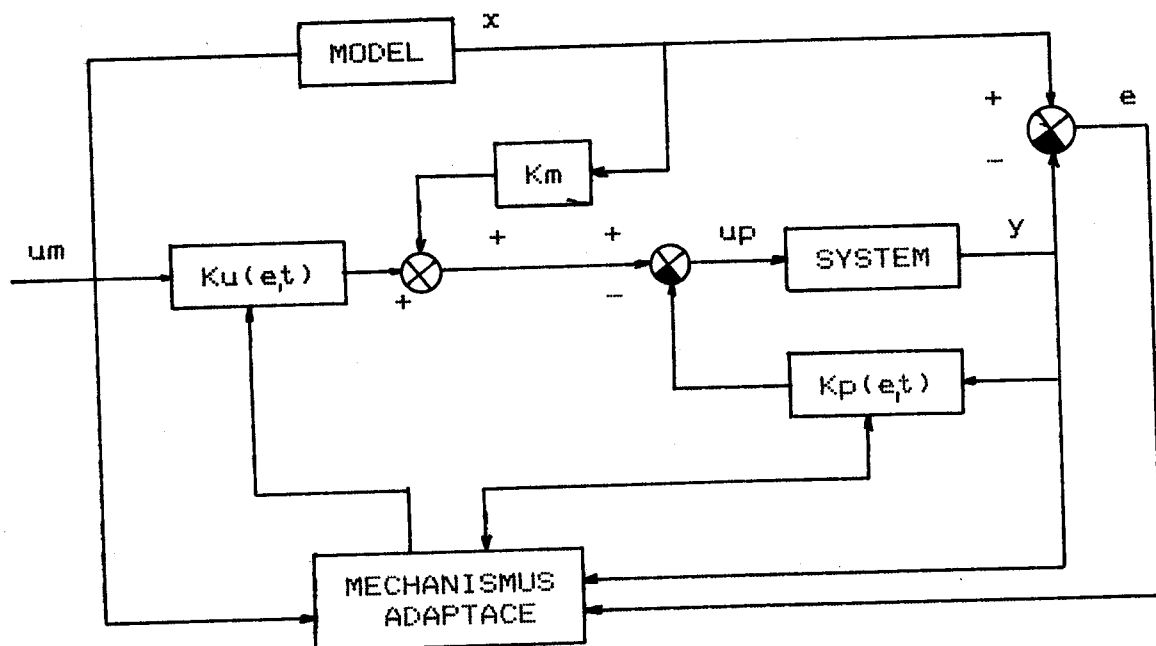
1. s parametrickou adaptací (nastavením), (Obr.5.2a)
2. se signální adaptací (Obr.5.2b)

Lze dokázat, že oba typy zapojení jsou ekvivalentní.

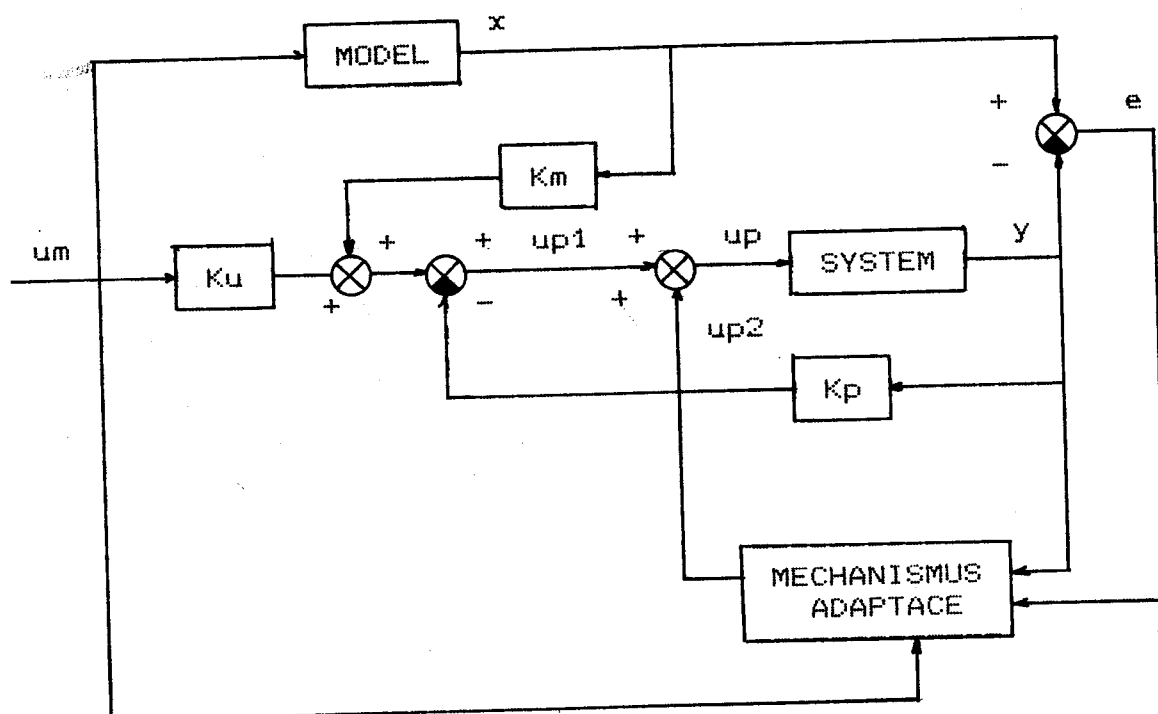
Pro AMFC systém s parametrickým nastavením lze vyjádřit jeho vstup jako:

$$u_p = -K_p(e, t) y + K_u(e, t) u_m + K_m x \quad (5.2.-1)$$

( a )



( b )



Obr. 5.2.

kde  $K_p(e, t)$  a  $K_u(e, t)$  jsou časově proměnné matice závislé na vektoru obecné chyby  $e = x - y$  a  $K_m$  je konstantní matice.  
Ovšem  $K_p(e, t)$  a  $K_u(e, t)$  mohou být také vyjádřeny jako :

$$K_p(e,t) = K_p - \Delta K_p(e,t) \quad (5.2.-2)$$

$$K_u(e,t) = K_u + \Delta K_u(e,t) \quad (5.2.-3)$$

kde  $K_p$  a  $K_u$  jsou konstantní matice určené pro nějaké specifické hodnoty parametrů řízeného systému ( např. nominální hodnoty u technických zařízení ).

Vstupní signál systému pak lze rozložit :

$$u_p = u_{p1} + u_{p2} \quad (5.2.-4)$$

kde

$$u_{p1} = -K_p y + K_m x_m + K_u u_m \quad (5.2.-5)$$

$$u_{p2} = \Delta K_p(e,t) y + \Delta K_u(e,t) u_m \quad (5.2.-6)$$

Vstup systému  $u_{p1}$  představuje lineární řídící signál ( rce. (5.1.-3) ) a vstup  $u_{p2}$  je výsledkem adaptační smyčky. Tomu odpovídá blokové schéma na Obr.5.2 b. A protože obě dvě zapojení jsou stejná, budeme se nadále zabývat pouze AMFC systémy se signálním nastavením.

Z hlediska struktury rozlišujeme dva typy AMFC systémů :

1. s paralelním referenčním modelem

2. se serio - paralelním referenčním modelem

Další výklad se bude týkat prvního typu zapojení.

### 5.2.-1 Paralelní AMFC systém - Spojitý případ

Uvažujme paralelní AMFC systém se signálním nastavením podle Obr. 5.2 b :

Referenční model :

$$\dot{x} = A_m x + B_m u_m \quad (5.2.-7)$$

Systém k řízení :

$$\dot{y} = A_p y + B_p u_{p1} + B_p u_{p2} \quad (5.2.-8)$$

Obecná stavová chyba :

$$e = x - y \quad (5.2.-9)$$

Lineární řídící signál :

$$u_{p1} = -K_p y + K_m x + K_u u_m \quad (5.2.-10)$$

Adaptační signál :

$$u_{p2} = \Delta K_p(e,t) y + \Delta K_u(e,t) u_m \quad (5.2.-11)$$

kde  $x$ ,  $y$  jsou  $n$ -dimensionální vektory,  $u_m$  je  $m$ -dimensionální vektorová funkce,  $u_{p1}$  a  $u_{p2}$  jsou  $mn$ -dimensionální vektory a  $A_m$ ,  $B_m$ ,  $A_p$ ,  $B_p$ ,  $K_m$ ,  $K_p$ ,  $K_u$ ,  $\Delta K_p(e,t)$  a  $\Delta K_u(e,t)$  jsou matice odpovídajících rozměrů.

Cílem je, aby adaptační mechanismus generoval dvě matice  $\Delta K_p(e,t)$  a  $\Delta K_u(e,t)$  takové, že obecná stavová chyba bude se blížit k nule ze jistých podmínek. Dále bude naznačen postup odvození takového algoritmu adaptace.

AMFC systém popsáný rovnicemi (5.2.-7) až (5.2.-11) je speciálním případem základního zapojení adaptivního systému s referenčním modelem MRAS. Rovnici (5.2.-8) můžeme pomocí rovnic (5.2.-10) a (5.2.-11) přepsat na :

$$\dot{y} = [A_p - B_p K_p + B_p K_m + B_p \Delta K_p(e,t)] y + \\ + B_p [K_u + \Delta K_u(e,t)] u + B_p K_m e \quad (5.2.-12)$$

Porovnáním s rovnicemi pro spojitý MRAS popsáný ve stavovém prostoru (viz rce. (4.2.-3), (4.2.-8,9) kde sumy nahradily integrály ) lze psát :

$$A_p - B_p K_p + B_p K_m + B_p \Delta K_p(e,t) = A_s(v,t) \\ (5.2.-13)$$

$$B_p [K_u + \Delta K_u(e,t)] = B_s(v,t) \\ (5.2.-14)$$

(když  $A_m$  má póly  $v = s = 0$ ). Použijeme tedy i stejný mechanismus adaptace :

$$v = D e \quad (5.2.-15)$$

a

$$\begin{aligned} As(v, t) &= Bp \left[ \int_0^t \phi_1(v, t, \tau) d\tau + \phi_2(v, t) \right] + As(0) = \\ &= \int_0^t \phi_1'(v, t, \tau) d\tau + \phi_2'(v, t) + As(0) \end{aligned} \quad (5.2.-16)$$

$$\begin{aligned} Bs(v, t) &= Bp \left[ \int_0^t \Psi_1(v, t, \tau) d\tau + \Psi_2(v, t) \right] + Bs(0) = \\ &= \int_0^t \Psi_1(v, t, \tau) d\tau + \Psi_2(v, t) + Bs(0) \end{aligned} \quad (5.2.-17)$$

kde

$$As(0) = Ap + Bp [Km - Kp + \Delta Kp(0)] \quad (5.2.-18)$$

$$Bs(0) = Bp [Ku + \Delta Ku(0)] \quad (5.2.-19)$$

Po dosazení těchto rovnic do (5.2.-13,14) získáme :

$$\begin{aligned} \Delta Kp(e, t) &= \Delta Kp(v, t) = \int_0^t \phi_1(v, t, \tau) \cdot d\tau + \phi_2(v, t) + \\ &+ \Delta Kp(0) \end{aligned} \quad (5.2.-20)$$

$$\begin{aligned} \Delta Ku(e, t) &= \Delta Ku(v, t) = \int_0^t \Psi_1(v, t, \tau) \cdot d\tau + \Psi_2(v, t) + \\ &+ \Delta Ku(0) \end{aligned} \quad (5.2.-21)$$

kde  $\phi_1$  a  $\Psi_1$  jsou  $m_1 \times n$  - dimensionální matice, které určují nelineární časově proměnnou relaci mezi  $\Delta Kp(v, t)$ ,  $\Delta K(v, t)$  a hodnotami  $v$  pro  $0 \leq \tau \leq t$ , a  $\phi_2$  a  $\Psi_2$  jsou matice stejných rozměrů určující nelineární časově proměnný vztah mezi  $\Delta Kp(v, t)$  a  $\Delta Ku(v, t)$  a hodnotami  $v(t)$ , pro které platí že :  $\phi_2(0, t) = \Psi_2(0, t) = 0$  pro jakékoli  $t$ . Integrální členy v rovnicích (5.2.-21,22) představují paměťovou část adaptačního mechanismu, zatímco  $\phi_2$  a  $\Psi_2$  jsou přechodné členy, které pomíncou když je adaptace ukončena tj.  $e = 0$  ( $v = 0$ ).

Nyní tedy je možno použít stejný postup jako v případu návrhu MRAS v kapitole 4 . Z rovnic (5.2.-7)-(5.2.-11) lze psát tento vztah :

$$\begin{aligned} \dot{e} &= (Am - Bp Km) e + [Am - Ap + Bp (Kp - Km) - \\ &- Bp \Delta Kp(v, t)] y + [Bm - Bp Ku - Bp \Delta Ku(v, t)] um \end{aligned} \quad (5.2.-22)$$

Protože existuje řešení pro PMF můžeme psát :

$$\begin{aligned} A_m - A_p &= B_p (K_m - K_p^0) \\ B_m &= B_p K_u^0 \end{aligned} \quad (5.2.-23)$$

kde  $K_p^0$  a  $K_u^0$  jsou neznámé hodnoty  $K_p$  a  $K_u$  zajišťující PMF, potom rce. (5.2.-22) přejde v :

$$\begin{aligned} \dot{e} &= (A_m - B_p K_m) e + B_p [K_p - K_p^0 - \Delta K_p(v,t)] y + \\ &+ B_p [K_u - K_u^0 - \Delta K_u(v,t)] u_m \end{aligned} \quad (5.2.-24)$$

Rovnice (5.2.-24) spolu s rovnicemi (5.2.-15, 20, 21) popisuje ekvivalentní zpětnovazební systém :

$$\dot{e} = (A_m - B_p K_m) e + B_p w_1 \quad (5.2.-25)$$

$$v = D e \quad (5.2.-26)$$

$$\begin{aligned} w &= -w_1 = [\Delta K_p(v,t) + K_p^0 - K_p] y + [\Delta K_u(v,t) - \\ &- K_u^0 + K_u] u_m = \\ &= [\int_0^t \phi_1(v,t,\tau) d\tau + \phi_2(v,t) + \Delta K_p^0] y + \\ &+ [\int_0^t \psi_1(v,t,\tau) d\tau + \psi_2(v,t) + \Delta K_u^0] u_m \end{aligned} \quad (5.2.-27)$$

kde

$$\begin{aligned} \Delta K_p^0 &= \Delta K_p(0) - K_p + K_p^0 \\ \Delta K_u^0 &= \Delta K_u(0) + K_u - K_u^0 \end{aligned} \quad (5.2.-28)$$

Ekvivalentní systém definovaný rovnicemi (5.2-25)-(5.2.-27), lze rozložit na lineární časově invariantní přímovazební blok popsany rovnicemi (5.2.-25) a (5.2.-26) a nelineární časově proměnný zpětnovazební blok popsany rovnicí (5.2.-28). Tento ekvivalentní systém bude asymptoticky hyperstabilní, jestliže bude splňovat podmínky Teoremu II ve spojité verzi.

Konečné výsledky návrhu pro případ proporcionalně – integrační adaptace jsou přehledně shrnutý do Tabulky 5.1. Je zde uveden popis AMFC systému, algoritmus adaptace pro paralelní AMFC systém a podmínky za jakých ho lze použít. Zkusme nyní diskutovat některé výsledky plynoucí z použití tohoto adaptačního zákona.

Tabulka 5.1. Spojitý případ AMFC systému

	Paralelní AMFC	Poznámka
Referenční model	$\dot{x} = A_m x + B_m u$	$\dim x = \dim y$
Systém k řízení	$\dot{y} = A_p y + B_p u_p1 + B_p u_p2$	$A_m =$ Hurwitzova matice
Obecná chyba stavu	$e = x - y$	$(A_p, B_p) =$ stabilní
Lineární řídící signál	$u_p1 = -K_p y + K_m x + K_u u_m$	$(A_m, B_p) =$ stabilní
Adaptační signál	$u_p2 = \Delta K_p(e, t) y + \Delta K_u(e, t) u_m$	
Podmínky pro PMF	$(I - B_p B_p^T)(A_m - A_p) = 0$ $(I - B_p B_p^T) B_m = 0$ nebo	
	rank $B_p = \text{rank } [B_p, A_m - A_p] =$ $= \text{rank } [B_p, B_m]$	
PI adaptační zákon	$v = D \cdot e$ $\Delta K_p(e, t) = \int_0^t F \cdot v \cdot (G \cdot y)^T d\tau +$ $+ F^T \cdot v \cdot (G \cdot y)^T + \Delta K_p(0)$ $\Delta K_u(e, t) = \int_0^t M \cdot v \cdot (N \cdot u_m)^T d\tau +$ $+ M^T \cdot v \cdot (N \cdot u_m)^T + \Delta K_u(0)$ $F, M, G, N \geq 0; F^T, M^T \geq 0$	
Podmínky stability	$D(s I - A_m + B_p K_m)^{-1} B_p = \text{přísmě}$ positivní reálná přenosová funkce nebo $D = B_p^T P, P \geq 0$ kde $P$ splňuje $(A_m - B_p K_m)^T P +$ $+ P (A_m - B_p K_m) = -Q, Q \geq 0$	

## 5.2.-2 Poznámky

1. V porovnání s jinými typy adaptivních řídicích systémů, implementace těchto adaptatérních zákonů nepožaduje řešení v reálném čase lineárních nebo nelineárních rovnic.
2. V adaptatérních zákonech integrální členy obsahující v představují pamět adaptatérního mechanismu a proporcionální členy s v jsou přítomny, aby urychlovaly redukci obecné chyby  $e$  v začínajícím adaptatérním procesu.
3. Pro výpočet lineárního kompenzátoru  $D$  je nutno po volbě symetrické pozitivně definitní matice  $Q$  řešit Ljapunovovu rovnici. V případech víceparamenných adaptivních řídicích systémů, navrhovaná matice  $A_m - B_p K_m$  může mít velký rozměr a zkoušenosti ukazují, že ve většině případech se jedná o špatně podmíněnou matici. Přímá metoda k řešení Ljapunovovy rovnice velmi často selhává, asi jako nejvhodnější se zdá ve většině praktických případech být metoda, kdy matice  $P$  je počítána pomocí součtu řady.
4. Volba matice  $Q$  má velký vliv na relativní změny jednotlivých složek obecné stavové chyby  $e$ . Experimentálně bylo ukázáno, že volba  $Q$  jako diagonální matice s danou stopou přítomnost j-té složky obecné chyby se zlepšuje v porovnání s ostatními složkami vzhledem členu  $q(j, j)$  a poklesem jiných ( $Q$  pracuje jako váhová matice) /4/.
5. Z podmínek stability vyplývá, že matici  $B_p$  musíme znát. Pokud je neznámá, ale lze ji odhadnout běžně.

hem approximace neznámou, ale pozitivně definitní maticí, tj. :

$$B_p = B_p^0 R \quad (5.2.-29)$$

kde  $B_p$  je známá matice a  $R$  je libovolná pozitivně definitní matice, přenosová matice ekvivalentního lineárního přímovazebního bloku přechází po volbě  $K_m = 0$  na :

$$H(s) = D (sI - A_m)^{-1} B_p^0 R \quad (5.2.-30)$$

Tato přenosová matice bude přísně pozitivní reálná pro libovolnou pozitivně definitní matici  $R$  volbou :

$$D = [B_p^0]^T P \quad (5.2.-31)$$

kde  $P$  je pozitivně definitní matice řešením Ljapunovovy rovnice ve tvaru :

$$P A_m + A_m^T P = -Q, \quad Q > 0 \quad (5.2.-32)$$

Pokud  $B_p$  a  $B_m$  mají podobnou strukturu, lze někdy volit  $B_p = B_m$ .

6. Jak již bylo ukázáno, matice  $K_p$  a  $K_m$  mají stejný vliv pro získání PMF. Proto pokud  $K_p$  není zrušena jinými úvahami, lze  $K_m$  eliminovat.

### 5.3. Diskrétní AMFC systém

V předcházející kapitole byla naznačena metoda návrhu adaptačního AMFC systému pro spojitý případ. Důvodem bylo jednak to, že princip je stejný jak pro spojitou tak i pro diskrétní verzi a návrh se liší pouze v určitých uváhach týkajících se adaptačního zpoždění, jež je třeba překonat a to činni spojitý návrh jednodušším a názornějším. Zde se zmínime pouze o některých odlišnostech a uvedeme algoritmus adaptace již ve výsledném tvaru - Tabulka 5.2.

Tabulka 5.2. Diskrétní případ AMFC systému

	Paralelní AMFC systém
Referenční model	$x^0(k+1) = A_m x(k) + B_m u_m(k)$ $x(k+1) = A_m x(k) + B_m u_m(k) - B_p [\Delta K_p(k+1) - K_p^{-1}(k)] y(k) - B_p [\Delta K_u(k+1) - K_u^{-1}(k)] u_m(k)$
Systém k řízení	$y(k+1) = A_p y(k) + B_p u_p1(k) + B_p u_p2(k)$
Obecná chyba stavu	$e^0(k) = x^0(k) - y(k)$ $e(k) = x(k) - y(k)$
Lineární řídící signál	$u_p1(k) = -K_p y(k) + K_m x(k) + K_u u_m(k)$
Adaptační signál	$u_p2(k) = \Delta K_p^{-1}(k) y(k) + \Delta K_u^{-1}(k) u_m(k)$
Podmínky pro PMF	$(I - B_p B_p^T)(A_m - A_p) = 0$ $(I - B_p B_p^T) B_m = 0$ <span style="margin-left: 200px;">nebo</span> $\text{rank } B_p = \text{rank } [B_p, A_m - A_p] = \text{rank } [B_p, B_m]$
PI adaptační zákon	$v^0(k+1) = D e^0(k+1)$ $v(k+1) = \{I + DB_p [(F + F^T) y^T(k) G y(k) + (M + M^T) u_m^T(k) N u_m(k)]\}^{-1} v(k+1)$ $\Delta K_p(k+1) = \Delta K_p^{-1}(k+1) + \Delta K_p^P(k+1)$ $\Delta K_p^{-1}(k+1) = \Delta K_p^{-1}(k) + F v(k+1) [G y(k)]^T$ $\Delta K_p^P(k+1) = F^T v(k+1) [G y(k)]^T$ $F, G \geq 0 ; F^T \geq 0$ $\Delta K_u(k+1) = \Delta K_u^{-1}(k+1) + \Delta K_u^P(k+1)$ $\Delta K_u^{-1}(k+1) = \Delta K_u^{-1}(k) + M v(k+1) [N u_m(k)]^T$ $\Delta K_u^P(k+1) = M^T v(k+1) [N u_m(k)]^T$ $M, N \geq 0 ; M^T \geq 0$
Podmínky stability	$Dz (zI - A_m + B_p K_m)^{-1} B_p = \text{přísně pozitivní reálná pěnovosová funkce}$ <span style="margin-left: 200px;">nebo</span> $D = B_p^T P B_p , P > 0 \quad \text{kde } P \text{ splňuje}$ $(A_m - B_p K_m)^T P (A_m - B_p K_m) - P = -Q, Q > 0$

Při použití techniky návrhu ( viz kap. 4.2 ) pro diskrétní MRAS zavádime do referenčního modelu pomocný přechodný signál, jež se neobjevil ve spojitém případu. Tento pomocný přechodný signál nám umožní získat ekvivalentní zpětnovazební systém s podobnou strukturou.

Porovnáme-li základní model popsáný rovnici (4.2.-1) vidíme, že modifikovaný model obsahuje uvažovaný přechodný signál, který pomíne po skončení adaptace ( tj., protože referenční model je asymptoticky stabilní  $\lim_{k \rightarrow \infty} v(k) = 0$  a stav modifikovaného modelu se blíží modelu originálnímu ). Je však nutno znát matici  $B_p$  : pokud není známa, lze ji v Tab. 5. 2. přepsat matici  $B$ , která leží v rozsahu změn matice  $B_p$  /4/.

#### 5.4. Závěrečné poznámky

V lit. /4/ jsou také uvedeny další možnosti využití této techniky na AMFC systémy např. pro serio-paralelní zapojení, pro případ popisu systému pouze relacemi mezi vstupem a výstupem apod. včetně příkladů.

1. AMFC systémy vhodně využitelné pro LMFC systémy pro případy, kdy parametry řízeného systému jsou málo známé nebo se mění během operace.
2. Problém AMFC systémů lze také formulovat jako problém návrhu MRAS pro případ, kdy existuje řešení pro PMF .
3. Podmínky pro PMF jsou v podstatě závislé na struktuře referenčního modelu a řízeného systému. Referenční model lze volit tak, aby bylo dosaženo PMF pro libovolné možné hodnoty parametrů řízeného systému.
4. V případu řízení systému popsáного stavovými rov-

nicemí je pro návrh adaptačního mechanismu požádována informace o rozsahu změn matice  $B_p$ .

5. Použití PI adaptace v případě stavového popisu má lepší vliv na konvergenci obecné stavové chyby v porovnání s pouze integrační adaptací.
6. V případě číslicové implementace, vzorkovací perioda by měla být malá v porovnání s časem adaptace, který může být menší než nejmenší časová konstanta řízeného systému.

Podrobněji viz /4/.

## 6. Experimentální část

---

V této kapitole se budeme zabývat použitím výše uvedené teorie a ověřením funkčnosti daných algoritmů adaptace na několika příkladech.

Jak již bylo uvedeno, adaptivní regulační obvod tvoří dvě smyčky : vnitřní, která provádí adaptaci a vnější, ve které je zapojen regulátor, seřízený podle dynamiky modelu a podle běžných kriterií syntézy regulačních obvodů s konstantní dynamikou ( tu zajistí obvodu právě adaptivní smyčka ). V této práci bylo použito kritéria vyrovnání obecné poruchy v minimálním počtu kroků.

Experimentální část je možno rozdělit do dvou podkapitol - první se zabývá ověřením adaptativního algoritmu z kapitoly 4, tj. algoritmu plynoucího z klasického zapojení pro MRAS ( uvažujeme systémy s nastavitelnými parametry popsané diferenčními rovnicemi ), a to včetně uvažování říšení na výstupu řízeného systému a špatného odhadu řádu referenčního modelu.

Ve druhé podkapitole se budeme zabývat AMFC systémy popsanými rovnicemi ve stavovém prostoru, když existuje řešení pro PMF.

### 6.1. Ověření algoritmu adaptace pro MRAS

---

Uvažujme následující přenosy spojitých soustav - viz Tabulka 6.1. Pro všechny soustavy je dále uvažován tvarovač nultého řádu  $H(p)$ .

Systém A je soustava třetího řádu se zesílením rovno dvěma. Odpovídající modely  $A_1$ ,  $A_2$  řádu druhého a třetího nám reprezentují požadované chování

Systém B je soustava řádu druhého, modely požadované

Tabulka 6.1: Přenosy spojitých soustav

Soustava	Přenos	Vz. perioda
A	$\frac{2}{(1.5p+1)(p+1)(2p+1)}$	2 s
A1	$\frac{2}{(2p+1)^2}$	2 s
A2	$\frac{1}{(p+1)^2 \cdot (2p+1)}$	2 s
B	$\frac{1}{p^2 + 2p + 2}$	0.2 s
B1	$\frac{1}{p+1}$	0.2 s
B2	$\frac{1}{p^2 + 2p + 1} = \frac{1}{(p+1)^2}$	0.2 s
B3	$\frac{1}{(p+1)^2 \cdot (2p+1)}$	0.2 s
Tvarovat	$H(p) = \frac{1}{p}$	

něho chování B1, B2, B3 pak po řadě prvního, druhého a třetího pádu.

Nyní provedeme diskretizaci uvedených soustav s daným tvarovatělem  $H(p)$  a vzorkovacími periodami uvedenými také v Tabulce 6.1. Použijeme přitom následující přechod :

$$G(p) \rightarrow g(t) \rightarrow G(z, \varepsilon)$$

kde  $G(p)$  je obrazový přenos spojité soustavy a je definován

jako poměr Laplaceových obrazů výstupu a vstupu při nulových počátečních podmírkách, který je shodný s Laplaceovým obrazem váhové funkce,  $g(t)$  je váhová funkce a  $G(z, \mathcal{E})$  je impulsní přenos soustavy definovaný jako podíl obrazu výstupu a vstupu v  $Z$ -transformaci. Tyto  $Z$ -obrazy lze získat například pomocí slovníku  $Z$ -transformace /2/. V příloze P-1 jsou uvedeny hodnoty koeficientů diferenciálních rovnic daných soustav po diskretizaci.

Dynamické vlastnosti soustav a modelů jsou potom v příloze P-2. Jedná se o váhové a přechodové charakteristiky jednotlivých modelů, u fázových systémů jsou navíc uvedeny výstupy v případech, kdy na výstupu soustavy působi šum, pro hodnoty šumu 5% a 10%.

Vyjádříme přenos spojité části impulsního obvodu jako podíl dvou polynomů :

$$HG(z, \mathcal{E}) = \frac{M(z, \mathcal{E})}{N(z)} \quad (6.1.-1)$$

a číslicového regulátoru :

$$R(z) = \frac{U(z)}{E(z)} = \frac{A(z)}{B(z)} \quad (6.1.-2)$$

Obraz regulační odchylinky :

$$E(z) = W(z) - z^4 HG(z, 1) U(z) = W(z) - z^4 \cdot HG(z, 1) R(z) E(z) \quad (6.1.-3)$$

Potom pro obrazy regulační odchylinky, akční veličiny a regulované veličiny lze psát :

$$E(z) = \frac{N(z) B(z)}{N(z) B(z) + z^{-4} M(z, 1) A(z)} W(z) \quad (6.1.-4)$$

$$U(z) = \frac{N(z) A(z)}{N(z) B(z) + z^{-4} M(z, 1) A(z)} W(z) \quad (6.1.-5)$$

$$Y(z, \mathcal{E}) = \frac{M(z, \mathcal{E}) A(z)}{N(z) B(z) + z^{-4} M(z, 1) A(z)} W(z) \quad (6.1.-6)$$

Pokud má být přechod na novou hodnotu regulované veličiny v konečné době, musí být konečnou i odezva regulované i akční veličiny i regulační odchylky. Tzn., že přenosy  $Y(z, \epsilon)/W(z)$ ,  $U(z)/W(z)$  a  $E(z)/W(z)$  musí být vyjádřeny konečným polynomem. Tato podmínka bude splněna, bude-li jmenovatel roven konstantě ( zpravidla se volí rovna 1 ) :

$$N(z) B(z) + z^4 M(z, 1) A(z) = 1 \quad (6.1.-7)$$

Z této podmínky pak lze určit zatím neznámé koeficienty přenosu regulátoru. Hodnoty koeficientů regulátorů pro jednotlivé soustavy jsou uvedeny v příloze P-1.

Algoritmus adaptace podle Teoremu II kap. 4. byl simulován na počítání a to včetně regulace. Byl použit zjednodušující předpoklad, že všechny parametry řízeného systému jsou nastavitelné. Výsledky simulace jsou uvedeny v přílohách P-3 až P-11. Obsahují informace o modelu a systému, zda je zapojen mechanismus adaptace a vnější regulátor a také o hodnotě šumu působícího na výstupu soustavy. Dále je v rozmezí kroku 0 - 50 uveden druh poruchy v přírůstkovém tvaru a žádaná hodnota, průběh výstupu referenčního modelu a řízeného systému a hodnoty akční veličiny.

Hodnoty matic  $G$  a  $G'(k)$  mají vliv na rychlosť a kvalitu adaptace. Lze experimentálně ukázat, že volime-li matice jako negativně definitní, dochází k destabilizaci adaptace, i v případu, kdy matice jsou pozitivně definitní, ale existují velké rozdíly mezi hodnotami jejich prvků.

Zvyšují-li se absolutní hodnoty prvků matic, zlepšuje se adaptace, ale pouze do určité velikosti. Další jejich zvyšování nemá již potřebný efekt.

Volime-li matice jako diagonální, mohou tyto pracovat jako váhové matice. To je užitečné, najdeme-li vhodný předpis pro použití vah během adaptace.

Matice  $G'(k)$  byla pro adaptaci volena konstantní s hodnotami prvků přibližně rovnými hodnotám prvků diagonální matice  $G$  ( hodnoty kolem +20 ). Pro určení koeficientů  $d_i$  viz (4.1.-37), se ukázaly jako nejvhodnější hodnoty  $q_i$  v intervalu (1E-3; 1E-2).

Problémem je také správné odhadnutí rádu soustavy a tím také volba rádu referenčního modelu. Proto byly v experimentech uvažovány také modely nižšího nebo vyššího rádu. Je vidět, že nemáme-li jistotu o rádu soustavy je lépe volit model rádu vyššího, který zajistí kvalitnější adaptaci. Pak záleží také na soustavě, vzorkovací periodě, zda kvalita adaptace vyrovná časovou ztrátu při regulaci ve vyšším počtu kroků. Samozřejmě, že nejlepší výsledky adaptace a regulace dává správný odhad rádu soustavy. U soustav s kratší periodou vzorkování se oba procesy urychluji, ale za cenu zvýšení hodnot akční veličiny.

Při vlivu šumu na výstupu soustavy dochází samozřejmě ke zhoršení adaptace a regulace. Zhoršuje se akční zásahy a výstup systému kmitá kolem žádané hodnoty. Při určitých hodnotách šumu může dokonce dojít i k nestabilnímu kmitání. V přílohách P-3 - P-11 jsou uvedeny také odezvy soustav při šumu 5% .

## 6.2. Algoritmus adaptace pro AMFC systémy

Algoritmus adaptace předpokládá popis soustav ve stavovém prostoru. Protože máme určeny koeficienty diferenčních rovnic soustav ( viz P-1 ), lze přímo psát stavové rovnice v tzv. kanonické formě vzhledem k řízení :

$$y(k) + a_1 y(k-1) + \dots + a_n y(k-n) = b_1 u(k-1) + \dots + b_n u(k-n) \quad (6.2.-1)$$

a potom ( viz kap.4. ) :

$$A = \begin{bmatrix} 0, & 1, & \dots, & 0 \\ 0, & 0, & 1, & \dots, & 0 \\ \vdots & \vdots & \ddots & \ddots & \vdots \\ -a_n, & \dots, & \dots, & \dots, & -a_1 \end{bmatrix} \quad B = \begin{bmatrix} 0 \\ \vdots \\ \vdots \\ 1 \end{bmatrix}$$

$$C = [ b_n, \dots, b_1 ] \quad (6.2.-2)$$

Pro vnitřní regulaci použijeme tzv. časově optimální řízení, tj. koněčný počet kroků regulace :

$$u(k) = -R x(k) \quad (6.2.-3)$$

Rovnice uzavřené smyčky :

$$x(k+1) = (A - B R) x(k) = A^* x(k) \quad (6.2.-4)$$

Protože  $x(0) \neq 0$  a

$$x(k+n) = A^{*n} x(k) = 0 \quad (6.2.-5)$$

musí A být nilpotentní maticí s indexem n :

$$A^{*n} = 0 \quad (6.2.-6)$$

Je-li soustava popsaná v kanonické formě vzhledem k řízení lze ukázat, že podmínka (6.2.-6) bude splněna pokud :

$$R = [ -a_n, \dots, -a_1 ] \quad (6.2.-7)$$

Nyní předvedeme návrh adaptativního algoritmu obecně pro soustavu druhého řádu :

Referenční model :

$$A = \begin{bmatrix} 0, & 1 \\ -a_2, & -a_1 \end{bmatrix} \quad B = \begin{bmatrix} 0 \\ 1 \end{bmatrix} \quad C = [ b_2, b_1 ] \quad R = [ -a_2, -a_1 ]$$

Systém k řízení :

$$A_p = \begin{bmatrix} 0, & 1 \\ -ap_2, & -ap_1 \end{bmatrix} \quad B_p = \begin{bmatrix} 0 \\ 1 \end{bmatrix} \quad C_p = [ bp_2, bp_1 ]$$

Podmínky pro PMF jsou splněny nezávisle na hodnotách A, B, Ap, Bp (viz kap.5.) a proto lze Kp a Ku počítat přímo z rovnic (5.1.-13/14) volbou Km = 0 :

$$Ku = [ ku ] = 1; \quad Kp = [ a_2-ap_2, a_1-ap_1 ]$$

Mechanismus adaptace obsahuje lineáří kompenzátor :

$$D = d^T = [d_1, d_2] .$$

Pro PI adaptaci volime :

$$F = f > 0, F' = f' > 0, M = m > 0, M' = m' > 0, N = n = 1.$$

Matici G lze uvažovat jako diagonální - váhový charakter.

Obdobné obecné řešení lze provést pro soustavy třetího a samozřejmě i vyššího rádu.

Výsledky simulace tohoto algoritmu na číslicovém počítání jsou v příloze P-12 až P-16. Opět jsou zde uvedeny informace o modelu a systému, hodnotě říšení a počáteční ustálený stav. Jedná se vlastně o optimální přechod na nulovou žádanou hodnotu z daného stavu systému.

## 7. Závěr

---

Během této práce byly vypracovány dva simulativní programy pro simulaci adaptace na číslicovém počítání. První se týkal adaptace s parametrickým nastavením, druhý pak adaptace se signálním nastavením. Klíčové procedury téhoto programu jsou uvedeny v P-17. Oba programy byly vypracovány na mikropočítání SHARP MZ-800 v jazyku TURBO PASCAL v.3.

Pro simulaci byla použita některá zjednodušení: bylo předpokládáno, že všechny parametry systému jsou nastavitelné (kap.6.1.), ani v použití vnějšího regulátoru nebyly vyčerpány všechny možnosti /2.8/.

Základní cíl této práce však byl splněn. Bylo ověřeno, že teorii hyperstability lze vedle jiných metod použít při návrhu adaptavního regulačního obvodu. Logika dalšího postupu by byla následující: ověřit tyto algoritmy ve spojení číslicový počítač - analogový počítač s přihlédnutím ke specifice modelovaných soustav, a posléze aplikace algoritmu adaptace v zapojení řídící mikropočítat - reálná soustava.

## Literatura

- /1/ HANUŠ, B., ALEXÍK, M., BILA, J., KROC, L., KRUPKA, Z. : Teorie automatického řízení III., skripta, Liberec 1985.
- /2/ HANUŠ, B., BALÁTEK, J., ŠVARC, I., ZIKES, F. : Teorie automatického řízení I., skripta, Liberec 1982 (1. a 2. část).
- /3/ HANUŠ, B., JANEČEK, J. : Dynamika lineárních stacionárních systémů ve stavovém prostoru. /Výzkumná zpráva KTK-0118/. Liberec, VŠST 1983.
- /4/ LANDAU, I.D. : Adaptive Control. The Model Reference Approach. Marcel Dekker, INC, New York and Basel.
- /5/ MODRLÁK, O. : Adaptivní řízení., skripta, Liberec 1987.
- /6/ POPOV, V.M. : "The solution of a new stability problem for controlled systems," Automation and Remote Control, Vol. 24, pp. 1-23, January 1963.
- /7/ POPOV, V.M. : "Criterii de stabilitate pentru sistemele automate continuind elemente neunivoce," Probleme de Automatizare 13 Oct (1960), pp.143-151. Publishing house of Roumanian Academy, Bucharest.
- /8/ STREJC, V. : Stavová teorie lineárního diskrétního řízení. Praha, Academia 1978.

Seznam příloh

- P - 1 Hodnoty koeficientů diskrétních přenosů spojitych soustav. Koeficienty přenosů odpovídajicich regulátorů.
- P - 2 Váhové a přechodové charakteristiky soustav i s vlivem římu na výstupu.
- P - 3 ... P - 11  
Adaptace a regulace soustav. Parametrické nastavení.
- P - 12 ... P - 16  
Adaptace a regulace soustav. Signální nastavení.
- P - 17 Procedury algoritmu adaptace v programovacim jazyku TURBO PASCAL v.3.

P = 1

SYSTEM A : n = 4 ; m = 3 ; T = 2 s ;			
A[i1]:	1.00000000E+00	-0.76681136E+00	0.18243303E+00
B[i1]:	0.31733629E+00	0.45140151E+00	3.62570770E-02
Model A1 : n = 3 ; m = 2			
A[i1]:	1.00000000E+00	-0.73575888E+00	0.13533528E+00
B[i1]:	0.52848224E+00	0.27067057E+00	
Regulator A1 : n = 1 ; m = 2			
Q[i1]:	1.00000000E+00	4.35751920E-01	
P[i1]:	2.45988769E+00	-1.47697129E+00	-2.17875952E-01
Model A2 : n = 4 ; m = 3			
A[i1]:	1.00000000E+00	-0.63855601E+00	1.17889776E-01
B[i1]:	4.10317303E-01	5.01411258E-01	3.34750804E-03
Regulator A2 : n = 2 ; m = 3			
Q[i1]:	1.00000000E+00	8.23723848E-01	5.33624898E-02
P[i1]:	1.98584401E+00	-1.11088199E+00	1.93751982E-01
-1.07409340E-02			
SYSTEM B : n = 3 ; m = 2 ; T = 0.2 s ;			
A[i1]:	1.00000000E+00	-1.60482000E+00	0.67032000E+00
B[i1]:	1.74663310E-02	1.52830448E-02	
Model B1 : n = 2 ; m = 1			
A[i1]:	1.00000000E+00	-1.81873075E+00	8.18730753E-01
B[i1]:	1.81124925E-01		
Regulator B1 : n = 0 ; m = 1			
Q[i1]:	1.00000000E+00		
P[i1]:	1.00333111E+01	-4.51665557E+00	
Model B2 : n = 3 ; m = 2			
A[i1]:	1.00000000E+00	-1.63746000E+00	0.67032000E+00
B[i1]:	0.01752300E+00	0.01533500E+00	
Regulator B2 : n = 1 ; m = 2			
Q[i1]:	1.00000000E+00	0.76611440E+00	0.33488220E+02
P[i1]:	1.06793700E+02	-0.10984800E+03	
Model B3 : n = 4 ; m = 3			
A[i1]:	1.00000000E+00	-2.54229892E+00	2.15195649E+00
B[i1]:	5.88737698E-04	2.07965928E-03	4.58506518E-04
Regulator B3 : n = 2 ; m = 3			
Q[i1]:	1.00000000E+00	2.16096544E+00	4.54868745E-01
P[i1]:	2.34626301E+03	-4.03195896E+03	2.60721962E+03
-6.01718469E+02			
Model B4 : n = 3 ; m = 2			
A[i1]:	1.00000000E+00	-1.48905080E+00	5.49811636E-01
B[i1]:	7.47645072E-01	1.01182758E-01	

P = 17

```
procedure adaptace; { parametricke nastaveni }
begin
  if printer then Hlavicka;
  krok:=0; u:=0;
  repeat
    modifyvek(2,n,m,xk1,por[krok]);
    modifyvek(2,ns,ms,yk1,por[krok]);
    modifyvek(2,ns,ms,y1,por[krok]);
    ym:=nasobvv(r,p,xk1);

    v0k:=ym-nasobvv(ns+ms+1,pik,yk1)+nasobvv(n,d,ek1);
    soucinvv('v',ns+ms+1,yk1,pommat,pomvek);
    prom:=1+nasobvv(ns+ms+1,pomvek,yk1);
    soucinvv('m',ns+ms+1,yk1,gk1,pomvek);
    soucinvk(v0k/prom,ns+ms+1,pomvek,ppk);
    soucetvv(1,ns+ms+1,pik,ppk,pik);
    soucetvv(1,ns+ms+1,pik,ppk,pk);
    ys:=nasobvv(ns+ms+1,pk,y1);
    modifyvek(1,ns,ms,y1,ys);
    ys:=ys+rnd;

    modifyvek(1,n,m,ek1,ym-ys);
    modifyvek(1,n,m,xk1,ym);
    modifyvek(1,ns,ms,yk1,ys);

    modify(2,ym-ys);
    u:=nasobvv(nr,reg,ewy);
    modify(1,u);

    vystup;

    krok:=krok+1
  until krok>50;
  write('>');
end;
```

```

procedure adaptace; { signalni nastaveni }
begin
  pocpodm:vstup:KROK:=0;
  if printer then Hlavicka
  repeat
    soucimvv('m',NM,XK1,AM,pomvek);
    XK1:=pomvek;
    soucinvk(UK,NM,BM,pomvek);
    soucetvv(1,NM,XK1,pomvek,XK1);
    XK1:=XK1;

    YP:=SK1;
    soucimvv('m',NS,YK1,AS,pomvek);
    YK1:=pomvek;
    soucinvk(UP1,NS,BS,pomvek);
    soucetvv(1,NS,YK1,pomvek,YK1);
    soucinvk(UP2,NS,BS,pomvek);
    soucetvv(1,NS,YK1,pomvek,YK1);
    for i:=1 to NM do SK1[i]:=YK1[i]+rnd;

    soucetvv(-1,NM,XOK1,SK1,EOK);
    VOK:=nasobvv(NM,D,EOK);

    soucimvv('v',NM,YP,G,pomvek);
    VK:=(F+FF)*nasobvv(NM,pomvek,YP)+(M+MM)*UK*N*UK;
    VK:=VOK/(1+nasobvv(NM,D,BS)*VK);

    soucimvv('m',NM,YP,G,pomvek);
    soucinvk(VK,NM,pomvek,pomvek);

    soucinvk(FF,NM,pomvek,DKPP);
    soucinvk(F,NM,pomvek,pomvek);
    soucetvv(1,NM,DKPI,pomvek,DKPI);
    soucetvv(1,NM,DKPI,DKPP,DKP);

    pom:=VK*N*UK;
    DKUI:=DKUI+M*pom;
    DKUP:=MM*pom;
    DKU:=DKUP+DKUI;

    soucetvv(1,NM,DKPP,pomvek,pomvek);
    soucinvv(NM,BS,pomvek,pommat);
    soucimvv('m',NM,YP,pommat,pomvek);
    soucetvv(-1,NM,XK1,pomvek,XK1);
    soucinvk((DKUP+M*pom)*UK,NM,BS,pomvek);
    soucetvv(-1,NM,XK1,pomvek,XK1);

    U:=-nasobvv(NM,REG,SK1);
    UK:=U;

    Vystup;

    UP1:=-nasobvv(NM,KP,SK1)+KU*UK;
    UP2:=nasobvv(NM,DKPI,SK1)+DKUI*UK;
    KROK:=KROK+1
  until KROK>50
end;

```

```

type
  matice=array [1..nmax,1..nmax] of real;
  vektor=array [0..nmax] of real;

var
  tvarovac,printer,adaptace,regulace:Boolean;
  i,j,k,NM,NS,NR,KROK:integer;
  U,UK,UP1,UP2,VOK,VK,F,FF,M,MM,N:real;
  DKU,DKUI,DKUP,KU,YM,YS,H,pom,w,sum,zes:real;
  AM,AS,G,pommat:matice;
  BM,BS,CM,CS,CI,XK1,XOK1,YK1,YP,EOK,EK:vektor;
  pomvek,D,DKP,DKPI,DKPP,KP,REG,HH,D0,SK1:vektor;
  por,zadh:array [0..50] of real;
function rnd:real;
begin
  rnd:=(random-0.5)*sum*zes
end;

procedure soucetvv(sgn,n:integer;a,b:vektor;var c:vektor);
var i:integer;
begin
  for i:=1 to n do c[i]:=a[i]+sgn*b[i];
end;

procedure soucetmm(sgn,n:integer;a,b:matice;var c:matice);
var i,j:integer;
begin
  for i:=1 to n do
    for j:=1 to n do c[i,j]:=a[i,j]+sgn*b[i,j];
end;

procedure soucinvv(n:integer;a,b:vektor;var c:matice);
var i,j:integer;
begin
  for i:=1 to n do
    for j:=1 to n do c[i,j]:=a[i]*b[j];
end;

function nasobvv(n:integer;a,b:vektor):real;
var i:integer;
  nasob:real;
begin
  nasob:=0;
  for i:=1 to n do nasob:=nasob+a[i]*b[i];
  nasobvv:=nasob
end;

procedure soucinvmv(por:char;n:integer;x:vektor;a:matice);
var i,j:integer;
begin
  for i:=1 to n do
    begin
      b[i]:=0;
      case por of
        'm':for j:=1 to n do b[i]:=b[i]+a[i,j]*x[j];
        'v':for j:=1 to n do b[i]:=b[i]+x[j]*a[j,i];
      end
    end
  end;
end;

procedure soucinvk(konst:real;n:integer;x:vektor;var y:vektor);
begin
  for i:=1 to n do y[i]:=konst*x[i];
end;

```

```

var
  i,j,k,m,n,r,nr,mr,ns,ms,krok:integer;
  v0k,ym,ys,u,prom,prvek,w,sum,zes:real;
  g,gk1,pommat:matice;
  a,b,d,an,bn,p,pk,pik,ppk,yk1,y1,xk1:vektor;
  ek1:pomvek,reg,pr,qr,ewy:vektor;
  por,zadh:array [0..50] of real;

procedure modifyvek(cast,n,m:integer;var x:vektor;
                     novaslozka:real);
begin
  case cast of
    1:if n>1 then
      begin for i:=n downto 2 do x[i]:=x[i-1];
            x[1]:=novaslozka end
      else x[n]:=novaslozka;
    2:begin k:=n+1;
      for i:=k+m downto k+1 do x[i]:=x[i-1];
      x[n+2]:=x[n+2]+u;
      x[n+1]:=novaslozka
      end
    end
  end;

procedure modify(cast:integer;novaslozka:real);
var i:integer;
begin
  case cast of
    1:begin if nr=0 then exit
          else for i:=nr downto 1 do ewy[i]:=ewy[i-1];
                ewy[1]:=novaslozka end;
    2:begin for i:=nr+mr+1 downto nr+2 do ewy[i]:=ewy[i-1];
          ewy[nr+1]:=novaslozka end
    end
  end;

```

Všechny názvy proměnných jsou voleny s ohledem na označení v textu. Výše uvedené procedury zajistí funkci adaptáčních procedur. Nevypsané jsou procedury:

- pocpodm - zajistí nastavení potřebních podmínek pro adaptaci a regulaci proměnných;
- vstup - umožní nastavit průběh poruch a žádané hodnoty podle obecné funkce;
- vystup - zajistí výstup výsledků na terminál (ti-skárnou v požadovaném tvaru).